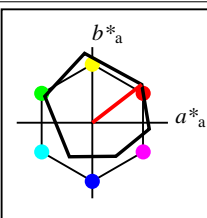


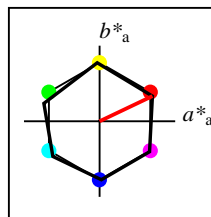
%Umfang
 $u^*_{rel} = 94$
%Regularität
 $g^*_{H,rel} = 58$
 $g^*_{C,rel} = 54$

ORS18	$L^*=L^*_a$	a^*_a	b^*_a	$C^*_{ab,a}$	$h^*_{ab,a}$
O _M	47.94	65.31	52.07	83.53	39
Y _M	90.37	-11.15	96.17	96.82	97
L _M	50.9	-62.96	36.71	72.89	150
C _M	58.62	-30.62	-42.74	52.59	234
V _M	25.72	31.45	-44.35	54.38	305
M _M	48.13	75.2	-6.79	75.51	355
N _M	18.01	0.5	-0.46	0.69	317
W _M	95.41	-0.98	4.76	4.86	102
R _{CIE}	39.92	58.74	27.99	65.07	25
J _{CIE}	81.26	-2.88	71.56	71.62	92
G _{CIE}	52.23	-42.41	13.6	44.55	162
B _{CIE}	30.57	1.41	-46.46	46.49	272



%Umfang
 $u^*_{rel} = 93$
%Regularität
 $g^*_{H,rel} = 57$
 $g^*_{C,rel} = 59$

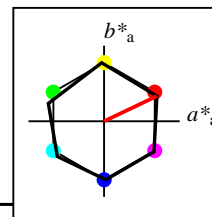
ORS18a; adaptierte CIELAB-Daten	$L^*=L^*_a$	a^*_a	b^*_a	$C^*_{ab,a}$	$h^*_{ab,a}$
O _{Ma}	47.94	65.39	50.52	82.63	38
Y _{Ma}	90.37	-10.26	91.75	92.32	96
L _{Ma}	50.9	-62.83	34.96	71.91	151
C _{Ma}	58.62	-30.34	-45.01	54.3	236
V _{Ma}	25.72	31.1	-44.4	54.22	305
M _{Ma}	48.13	75.28	-8.36	75.74	354
N _{Ma}	18.01	0.0	0.0	0.0	0
W _{Ma}	95.41	0.0	0.0	0.0	0
R _{CIE}	39.92	58.66	26.98	64.57	25
J _{CIE}	81.26	-2.16	67.76	67.79	92
G _{CIE}	52.23	-42.25	11.76	43.87	164
B _{CIE}	30.57	1.15	-46.84	46.86	271



%Umfang
 $u^*_{rel} = 100$
%Regularität
 $g^*_{H,rel} = 78$
 $g^*_{C,rel} = 100$

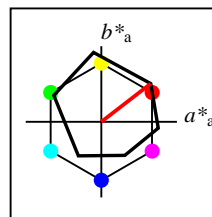
NRS18a; adaptierte CIELAB-Daten	$L^*=L^*_a$	a^*_a	b^*_a	$C^*_{ab,a}$	$h^*_{ab,a}$
O _{Ma}	56.71	69.87	33.29	77.4	25
Y _{Ma}	56.71	-3.1	77.34	77.4	92
L _{Ma}	56.71	-73.68	23.63	77.39	162
C _{Ma}	56.71	-61.81	-46.54	77.39	217
V _{Ma}	56.71	2.35	-77.34	77.39	272
M _{Ma}	56.71	66.07	-40.3	77.4	329
N _{Ma}	18.01	0.0	0.0	0.0	0
W _{Ma}	95.41	0.0	0.0	0.0	0
R _{CIE}	39.92	58.74	27.99	65.07	25
J _{CIE}	81.26	-2.88	71.56	71.62	92
G _{CIE}	52.23	-42.41	13.6	44.55	162
B _{CIE}	30.57	1.41	-46.46	46.49	272

Workflow-Wahlen
für Farbmuster:
1. keine Farbänderung
2. Buntton-Änderung
3. Buntheits-Änderung



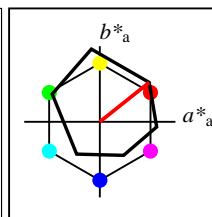
%Umfang
 $u^*_{rel} = 100$
%Regularität
 $g^*_{H,rel} = 78$
 $g^*_{C,rel} = 100$

NRS18a; adaptierte CIELAB-Daten	$L^*=L^*_a$	a^*_a	b^*_a	$C^*_{ab,a}$	$h^*_{ab,a}$
O _{Ma}	56.71	69.87	33.29	77.4	25
Y _{Ma}	56.71	-3.1	77.34	77.4	92
L _{Ma}	56.71	-73.68	23.63	77.39	162
C _{Ma}	56.71	-61.81	-46.54	77.39	217
V _{Ma}	56.71	2.35	-77.34	77.39	272
M _{Ma}	56.71	66.07	-40.3	77.4	329
N _{Ma}	18.01	0.0	0.0	0.0	0
W _{Ma}	95.41	0.0	0.0	0.0	0
R _{CIE}	39.92	58.74	27.99	65.07	25
J _{CIE}	81.26	-2.88	71.56	71.62	92
G _{CIE}	52.23	-42.41	13.6	44.55	162
B _{CIE}	30.57	1.41	-46.46	46.49	272



%Umfang
 $u^*_{rel} = 93$
%Regularität
 $g^*_{H,rel} = 57$
 $g^*_{C,rel} = 59$

ORS18a; adaptierte CIELAB-Daten	$L^*=L^*_a$	a^*_a	b^*_a	$C^*_{ab,a}$	$h^*_{ab,a}$
O _{Ma}	47.94	65.39	50.52	82.63	38
Y _{Ma}	90.37	-10.26	91.75	92.32	96
L _{Ma}	50.9	-62.83	34.96	71.91	151
C _{Ma}	58.62	-30.34	-45.01	54.3	236
V _{Ma}	25.72	31.1	-44.4	54.22	305
M _{Ma}	48.13	75.28	-8.36	75.74	354
N _{Ma}	18.01	0.0	0.0	0.0	0
W _{Ma}	95.41	0.0	0.0	0.0	0
R _{CIE}	39.92	58.66	26.98	64.57	25
J _{CIE}	81.26	-2.16	67.76	67.79	92
G _{CIE}	52.23	-42.25	11.76	43.87	164
B _{CIE}	30.57	1.15	-46.84	46.86	271



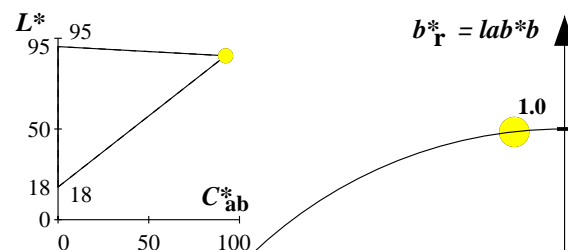
%Umfang
 $u^*_{rel} = 94$
%Regularität
 $g^*_{H,rel} = 58$
 $g^*_{C,rel} = 54$

ORS18	$L^*=L^*_a$	a^*_a	b^*_a	$C^*_{ab,a}$	$h^*_{ab,a}$
O _M	47.94	65.31	52.07	83.53	39
Y _M	90.37	-11.15	96.17	96.82	97
L _M	50.9	-62.96	36.71	72.89	150
C _M	58.62	-30.62	-42.74	52.59	234
V _M	25.72	31.45	-44.35	54.38	305
M _M	48.13	75.2	-6.79	75.51	355
N _M	18.01	0.5	-0.46	0.69	317
W _M	95.41	-0.98	4.76	4.86	102
R _{CIE}	39.92	58.74	27.99	65.07	25
J _{CIE}	81.26	-2.88	71.56	71.62	92
G _{CIE}	52.23	-42.41	13.6	44.55	162
B _{CIE}	30.57	1.41	-46.46	46.49	272

Relatives CIELAB-Buntheitsdiagramm: ($a^*_r = lab^*a$, $b^*_r = lab^*b$) und absolutes CIELAB Bunttondreiecks-Diagramm: (L^* , C^*_{ab}) für Ein- (---) und Ausgabe (----) ORS18: Eingabe (i) Farbmatrik-Sytem; Sechs Bunttonwinkel des Farbgerätes: (37.7, 96.4, 150.9, 236.0, 305.0, 353.7); Vier Bunttonwinkel der Elementarfarben: (24.7, 91.8, 164.5, 271.4)
ORS18: Ausgabe (o) Farbmatrik-Sytem; Sechs Bunttonwinkel des Farbgerätes: (37.7, 96.4, 150.9, 236.0, 305.0, 353.7); Vier Bunttonwinkel der Elementarfarben: (24.7, 91.8, 164.5, 271.4)

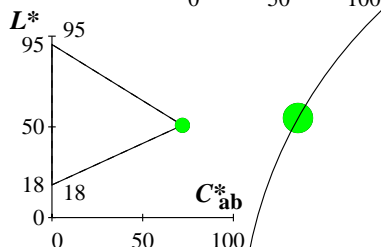
Y Gelb

$olv3Mi = 1.0 \ 1.0 \ 0.0$
 $olv3Mo = 1.0 \ 1.0 \ 0.0$
 $LCHMi = 90.4 \ 92.3 \ 96$
 $LCHo = 90.4 \ 92.3 \ 96$
 $tchMi = 0.5 \ 1.0 \ 0.268$
 $tchMo = 0.5 \ 1.0 \ 0.268$



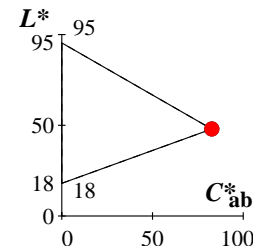
L Laubgrün

$olv3Mi = 0.0 \ 1.0 \ 0.0$
 $olv3Mo = 0.0 \ 1.0 \ 0.0$
 $LCHMi = 50.9 \ 71.9 \ 151$
 $LCHo = 50.9 \ 71.9 \ 151$
 $tchMi = 0.5 \ 1.0 \ 0.419$
 $tchMo = 0.5 \ 1.0 \ 0.419$



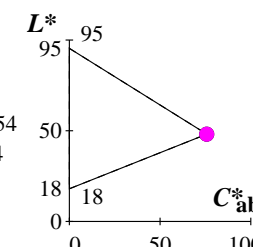
O Orangerot

$olv3Mi = 1.0 \ 0.0 \ 0.0$
 $olv3Mo = 1.0 \ 0.0 \ 0.0$
 $LCHMi = 47.9 \ 82.6 \ 38$
 $LCHo = 47.9 \ 82.6 \ 38$
 $tchMi = 0.5 \ 1.0 \ 0.105$
 $tchMo = 0.5 \ 1.0 \ 0.105$



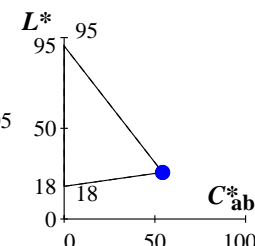
M Magentarot

$olv3Mi = 1.0 \ 0.0 \ 1.0$
 $olv3Mo = 1.0 \ 0.0 \ 1.0$
 $LCHMi = 48.1 \ 75.7 \ 354$
 $LCHo = 48.1 \ 75.7 \ 354$
 $tchMi = 0.5 \ 1.0 \ 0.982$
 $tchMo = 0.5 \ 1.0 \ 0.982$



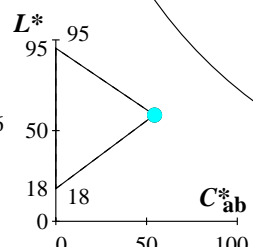
V Violettblau

$olv3Mi = 0.0 \ 0.0 \ 1.0$
 $olv3Mo = 0.0 \ 0.0 \ 1.0$
 $LCHMi = 25.7 \ 54.2 \ 305$
 $LCHo = 25.7 \ 54.2 \ 305$
 $tchMi = 0.5 \ 1.0 \ 0.847$
 $tchMo = 0.5 \ 1.0 \ 0.847$



C Cyanblau

$olv3Mi = 0.0 \ 1.0 \ 1.0$
 $olv3Mo = 0.0 \ 1.0 \ 1.0$
 $LCHMi = 58.6 \ 54.3 \ 236$
 $LCHo = 58.6 \ 54.3 \ 236$
 $tchMi = 0.5 \ 1.0 \ 0.656$
 $tchMo = 0.5 \ 1.0 \ 0.656$



Keine Bunttonänderung der Ausgabefarbe M
Keine relative Buntheitsänderung der Ausgabefarbe M

Relatives CIELAB-Buntheitsdiagramm: ($a^*_r = lab^*a$, $b^*_r = lab^*b$) und absolutes CIELAB Bunttondreiecks-Diagramm: (L^* , C^*_{ab}) für Ein- (---) und Ausgabe (----) ORS18: Eingabe (i) Farbmatrik-Sytem; Sechs Bunttonwinkel des Farbgerätes: (37.7, 96.4, 150.9, 236.0, 305.0, 353.7); Vier Bunttonwinkel der Elementarfarben: (24.7, 91.8, 164.5, 271.4)
ORS18: Ausgabe (o) Farbmatrik-Sytem; Sechs Bunttonwinkel des Farbgerätes: (37.7, 96.4, 150.9, 236.0, 305.0, 353.7); Vier Bunttonwinkel der Elementarfarben: (24.7, 91.8, 164.5, 271.4)

Y Gelb

$olv3Mi = 1.0 \ 1.0 \ 0.0$
 $olv3Mo = 0.816 \ 1.0 \ 0.0$
 $LCHMi = 90.4 \ 92.3 \ 96$
 $LCHo = 83.1 \ 88.6 \ 106$
 $tchMi = 0.5 \ 1.0 \ 0.268$
 $tchMo = 0.5 \ 1.0 \ 0.296$

L Laubgrün

$olv3Mi = 0.0 \ 1.0 \ 0.0$
 $olv3Mo = 0.0 \ 1.0 \ 0.118$
 $LCHMi = 50.9 \ 71.9 \ 151$
 $LCHo = 51.8 \ 69.8 \ 161$
 $tchMi = 0.5 \ 1.0 \ 0.419$
 $tchMo = 0.5 \ 1.0 \ 0.447$

C Cyanblau

$olv3Mi = 0.0 \ 1.0 \ 1.0$
 $olv3Mo = 0.0 \ 0.855 \ 1.0$
 $LCHMi = 58.6 \ 54.3 \ 236$
 $LCHo = 53.8 \ 54.3 \ 246$
 $tchMi = 0.5 \ 1.0 \ 0.656$
 $tchMo = 0.5 \ 1.0 \ 0.683$

O Orangerot

$olv3Mi = 1.0 \ 0.0 \ 0.0$
 $olv3Mo = 1.0 \ 0.171 \ 0.0$
 $LCHMi = 47.9 \ 82.6 \ 38$
 $LCHo = 55.2 \ 84.3 \ 48$
 $tchMi = 0.5 \ 1.0 \ 0.105$
 $tchMo = 0.5 \ 1.0 \ 0.132$

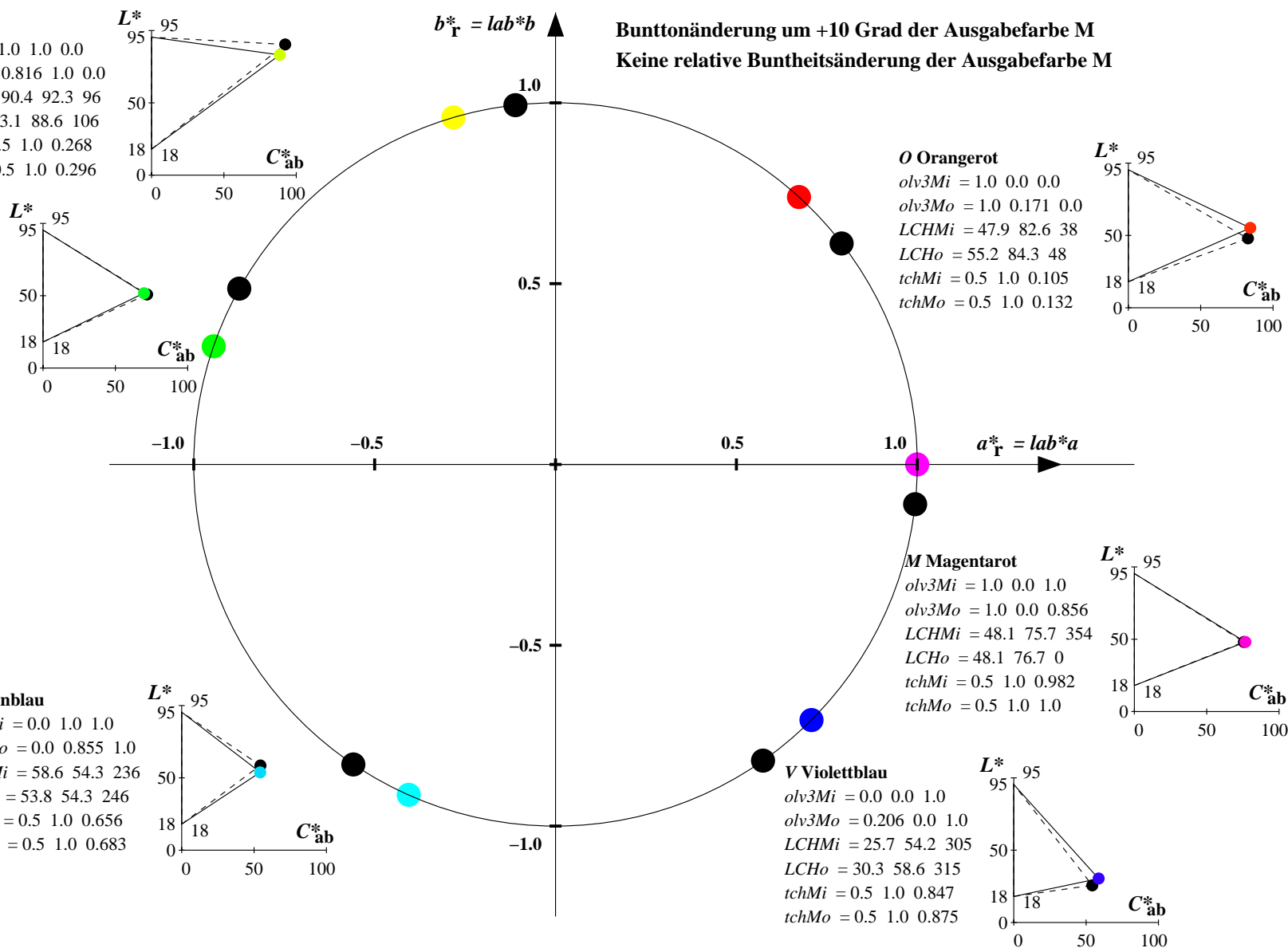
M Magentarot

$olv3Mi = 1.0 \ 0.0 \ 1.0$
 $olv3Mo = 1.0 \ 0.0 \ 0.856$
 $LCHMi = 48.1 \ 75.7 \ 354$
 $LCHo = 48.1 \ 76.7 \ 0$
 $tchMi = 0.5 \ 1.0 \ 0.982$
 $tchMo = 0.5 \ 1.0 \ 1.0$

V Violettblau

$olv3Mi = 0.0 \ 0.0 \ 1.0$
 $olv3Mo = 0.206 \ 0.0 \ 1.0$
 $LCHMi = 25.7 \ 54.2 \ 305$
 $LCHo = 30.3 \ 58.6 \ 315$
 $tchMi = 0.5 \ 1.0 \ 0.847$
 $tchMo = 0.5 \ 1.0 \ 0.875$

Bunttonänderung um +10 Grad der Ausgabefarbe M
Keine relative Buntheitsänderung der Ausgabefarbe M



Relatives CIELAB-Buntheitsdiagramm: ($a^*_r = lab^*a$, $b^*_r = lab^*b$) und absolutes CIELAB Bunttondreiecks-Diagramm: (L^* , C^*_{ab}) für Ein- (---) und Ausgabe (----) ORS18: Eingabe (i) Farbmatrik-Sytem; Sechs Bunttonwinkel des Farbgerätes: (37.7, 96.4, 150.9, 236.0, 305.0, 353.7); Vier Bunttonwinkel der Elementarfarben: (24.7, 91.8, 164.5, 271.4)
ORS18: Ausgabe (o) Farbmatrik-Sytem; Sechs Bunttonwinkel des Farbgerätes: (37.7, 96.4, 150.9, 236.0, 305.0, 353.7); Vier Bunttonwinkel der Elementarfarben: (24.7, 91.8, 164.5, 271.4)

Y Gelb

olv3Mi = 1.0 1.0 0.0
olv3Mo = 0.75 0.75 0.25
LCHMi = 90.4 92.3 96
LCHo = 69.0 46.2 96
tchMi = 0.5 1.0 0.268
tchMo = 0.5 0.5 0.268

L Laubgrün

olv3Mi = 0.0 1.0 0.0
olv3Mo = 0.25 0.75 0.25
LCHMi = 50.9 71.9 151
LCHo = 49.3 36.0 151
tchMi = 0.5 1.0 0.419
tchMo = 0.5 0.5 0.419

C Cyanblau

olv3Mi = 0.0 1.0 1.0
olv3Mo = 0.25 0.75 0.75
LCHMi = 58.6 54.3 236
LCHo = 53.2 27.1 236
tchMi = 0.5 1.0 0.656
tchMo = 0.5 0.5 0.656

O Orangerot

olv3Mi = 1.0 0.0 0.0
olv3Mo = 0.75 0.25 0.25
LCHMi = 47.9 82.6 38
LCHo = 47.8 41.3 38
tchMi = 0.5 1.0 0.105
tchMo = 0.5 0.5 0.105

M Magentarot

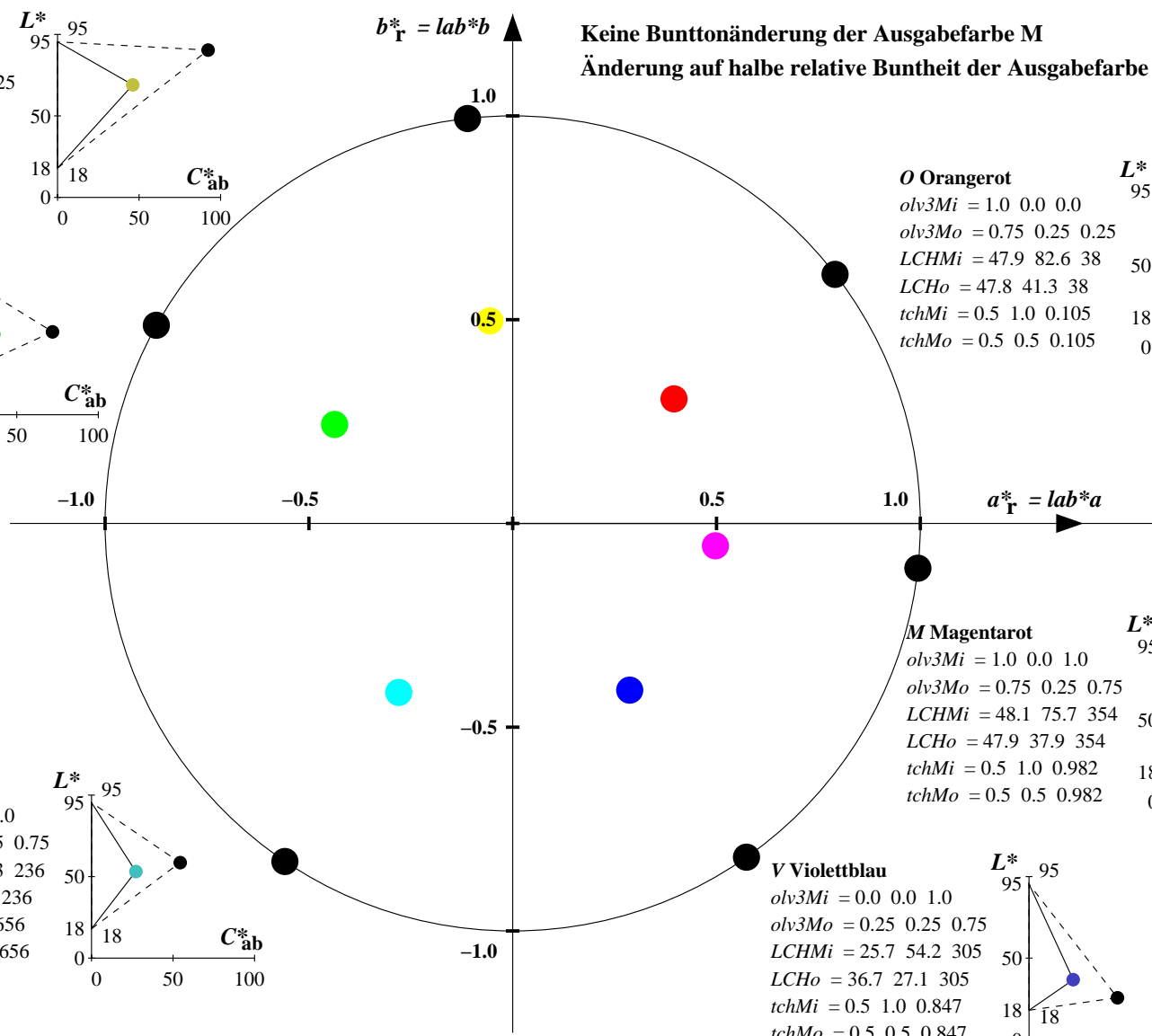
olv3Mi = 1.0 0.0 1.0
olv3Mo = 0.75 0.25 0.75
LCHMi = 48.1 75.7 354
LCHo = 47.9 37.9 354
tchMi = 0.5 1.0 0.982
tchMo = 0.5 0.5 0.982

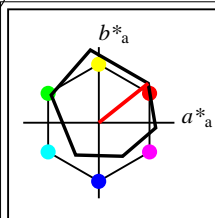
V Violettblau

olv3Mi = 0.0 0.0 1.0
olv3Mo = 0.25 0.25 0.75
LCHMi = 25.7 54.2 305
LCHo = 36.7 27.1 305
tchMi = 0.5 1.0 0.847
tchMo = 0.5 0.5 0.847

Keine Bunttonänderung der Ausgabefarbe M

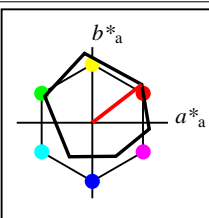
Änderung auf halbe relative Buntheit der Ausgabefarbe M





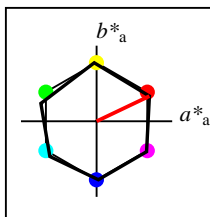
%Umfang
 $u^*_{rel} = 94$
%Regularität
 $g^*_{H,rel} = 58$
 $g^*_{C,rel} = 54$

ORS18	$L^*=L^*_a$	a^*_a	b^*_a	$C^*_{ab,a}$	$h^*_{ab,a}$
O _M	47.94	65.31	52.07	83.53	39
Y _M	90.37	-11.15	96.17	96.82	97
L _M	50.9	-62.96	36.71	72.89	150
C _M	58.62	-30.62	-42.74	52.59	234
V _M	25.72	31.45	-44.35	54.38	305
M _M	48.13	75.2	-6.79	75.51	355
N _M	18.01	0.5	-0.46	0.69	317
W _M	95.41	-0.98	4.76	4.86	102
R _{CIE}	39.92	58.74	27.99	65.07	25
J _{CIE}	81.26	-2.88	71.56	71.62	92
G _{CIE}	52.23	-42.41	13.6	44.55	162
B _{CIE}	30.57	1.41	-46.46	46.49	272



%Umfang
 $u^*_{rel} = 93$
%Regularität
 $g^*_{H,rel} = 57$
 $g^*_{C,rel} = 59$

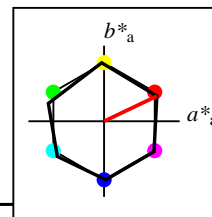
ORS18a; adaptierte CIELAB-Daten	$L^*=L^*_a$	a^*_a	b^*_a	$C^*_{ab,a}$	$h^*_{ab,a}$
O _{Ma}	47.94	65.39	50.52	82.63	38
Y _{Ma}	90.37	-10.26	91.75	92.32	96
L _{Ma}	50.9	-62.83	34.96	71.91	151
C _{Ma}	58.62	-30.34	-45.01	54.3	236
V _{Ma}	25.72	31.1	-44.4	54.22	305
M _{Ma}	48.13	75.28	-8.36	75.74	354
N _{Ma}	18.01	0.0	0.0	0.0	0
W _{Ma}	95.41	0.0	0.0	0.0	0
R _{CIE}	39.92	58.66	26.98	64.57	25
J _{CIE}	81.26	-2.16	67.76	67.79	92
G _{CIE}	52.23	-42.25	11.76	43.87	164
B _{CIE}	30.57	1.15	-46.84	46.86	271



%Umfang
 $u^*_{rel} = 100$
%Regularität
 $g^*_{H,rel} = 78$
 $g^*_{C,rel} = 100$

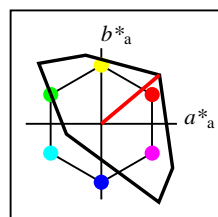
NRS18a; adaptierte CIELAB-Daten	$L^*=L^*_a$	a^*_a	b^*_a	$C^*_{ab,a}$	$h^*_{ab,a}$
O _{Ma}	56.71	69.87	33.29	77.4	25
Y _{Ma}	56.71	-3.1	77.34	77.4	92
L _{Ma}	56.71	-73.68	23.63	77.39	162
C _{Ma}	56.71	-61.81	-46.54	77.39	217
V _{Ma}	56.71	2.35	-77.34	77.39	272
M _{Ma}	56.71	66.07	-40.3	77.4	329
N _{Ma}	18.01	0.0	0.0	0.0	0
W _{Ma}	95.41	0.0	0.0	0.0	0
R _{CIE}	39.92	58.74	27.99	65.07	25
J _{CIE}	81.26	-2.88	71.56	71.62	92
G _{CIE}	52.23	-42.41	13.6	44.55	162
B _{CIE}	30.57	1.41	-46.46	46.49	272

Workflow-Wahlen
für Farbmuster:
1. keine Farbänderung
2. Buntton-Änderung
3. Buntheits-Änderung



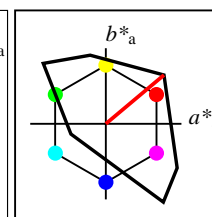
%Umfang
 $u^*_{rel} = 100$
%Regularität
 $g^*_{H,rel} = 78$
 $g^*_{C,rel} = 100$

NRS18a; adaptierte CIELAB-Daten	$L^*=L^*_a$	a^*_a	b^*_a	$C^*_{ab,a}$	$h^*_{ab,a}$
O _{Ma}	56.71	69.87	33.29	77.4	25
Y _{Ma}	56.71	-3.1	77.34	77.4	92
L _{Ma}	56.71	-73.68	23.63	77.39	162
C _{Ma}	56.71	-61.81	-46.54	77.39	217
V _{Ma}	56.71	2.35	-77.34	77.39	272
M _{Ma}	56.71	66.07	-40.3	77.4	329
N _{Ma}	18.01	0.0	0.0	0.0	0
W _{Ma}	95.41	0.0	0.0	0.0	0
R _{CIE}	39.92	58.74	27.99	65.07	25
J _{CIE}	81.26	-2.88	71.56	71.62	92
G _{CIE}	52.23	-42.41	13.6	44.55	162
B _{CIE}	30.57	1.41	-46.46	46.49	272



%Umfang
 $u^*_{rel} = 158$
%Regularität
 $g^*_{H,rel} = 20$
 $g^*_{C,rel} = 37$

TLS00a; adaptierte CIELAB-Daten	$L^*=L^*_a$	a^*_a	b^*_a	$C^*_{ab,a}$	$h^*_{ab,a}$
O _{Ma}	50.5	76.92	64.55	100.42	40
Y _{Ma}	92.66	-20.69	90.75	93.08	103
L _{Ma}	83.63	-82.75	79.9	115.04	136
C _{Ma}	86.88	-46.16	-13.55	48.12	196
V _{Ma}	30.39	76.06	-103.59	128.52	306
M _{Ma}	57.3	94.35	-58.41	110.97	328
N _{Ma}	0.01	0.0	0.0	0.0	0
W _{Ma}	95.41	0.0	0.0	0.0	0
R _{CIE}	39.92	58.74	27.99	65.07	25
J _{CIE}	81.26	-2.88	71.56	71.62	92
G _{CIE}	52.23	-42.41	13.6	44.55	162
B _{CIE}	30.57	1.41	-46.46	46.49	272



%Umfang
 $u^*_{rel} = 158$
%Regularität
 $g^*_{H,rel} = 20$
 $g^*_{C,rel} = 37$

TLS00	$L^*=L^*_a$	a^*_a	b^*_a	$C^*_{ab,a}$	$h^*_{ab,a}$
O _M	50.5	76.92	64.55	100.42	40
Y _M	92.66	-20.69	90.75	93.08	103
L _M	83.63	-82.75	79.9	115.04	136
C _M	86.88	-46.16	-13.55	48.12	196
V _M	30.39	76.06	-103.59	128.52	306
M _M	57.3	94.35	-58.41	110.97	328
N _M	0.01	0.0	0.0	0.0	0
W _M	95.41	0.0	0.0	0.0	0
R _{CIE}	39.92	58.74	27.99	65.07	25
J _{CIE}	81.26	-2.88	71.56	71.62	92
G _{CIE}	52.23	-42.41	13.6	44.55	162
B _{CIE}	30.57	1.41	-46.46	46.49	272

Relatives CIELAB-Buntheitsdiagramm: ($a_R^* = lab^*a$, $b_R^* = lab^*b$) und **absolutes CIELAB Bunttondreiecks-Diagramm:** (L^* , C_{ab}^*) für Ein- (---) und Ausgabe (----) ORS18: Eingabe (i) Farbmatrik-Sytem; Sechs Bunttonwinkel des Farbgerätes: (37.7, 96.4, 150.9, 236.0, 305.0, 353.7); Vier Bunttonwinkel der Elementarfarben: (24.7, 91.8, 164.5, 271.4)
TLS00: Ausgabe (o) Farbmatrik-Sytem; Sechs Bunttonwinkel des Farbgerätes: (40.0, 102.8, 136.0, 196.4, 306.3, 328.2); Vier Bunttonwinkel der Elementarfarben: (25.5, 92.3, 162.2, 271.7)

Y Gelb

$olv3Mi = 1.0 \ 1.0 \ 0.0$
 $olv3Mo = 1.0 \ 0.897 \ 0.0$
 $LCHMi = 90.4 \ 92.3 \ 96$
 $LCHo = 88.3 \ 93.8 \ 96$
 $tchMi = 0.5 \ 1.0 \ 0.268$
 $tchMo = 0.5 \ 1.0 \ 0.268$

L Laubgrün

$olv3Mi = 0.0 \ 1.0 \ 0.0$
 $olv3Mo = 0.0 \ 1.0 \ 0.247$
 $LCHMi = 50.9 \ 71.9 \ 151$
 $LCHo = 84.4 \ 98.5 \ 151$
 $tchMi = 0.5 \ 1.0 \ 0.419$
 $tchMo = 0.5 \ 1.0 \ 0.419$

C Cyanblau

$olv3Mi = 0.0 \ 1.0 \ 1.0$
 $olv3Mo = 0.0 \ 0.639 \ 1.0$
 $LCHMi = 58.6 \ 54.3 \ 236$
 $LCHo = 66.5 \ 77.1 \ 236$
 $tchMi = 0.5 \ 1.0 \ 0.656$
 $tchMo = 0.5 \ 1.0 \ 0.656$

V Violettblau

$olv3Mi = 0.0 \ 0.0 \ 1.0$
 $olv3Mo = 0.0 \ 0.012 \ 1.0$
 $LCHMi = 25.7 \ 54.2 \ 305$
 $LCHo = 31.1 \ 127.6 \ 305$
 $tchMi = 0.5 \ 1.0 \ 0.847$
 $tchMo = 0.5 \ 1.0 \ 0.847$

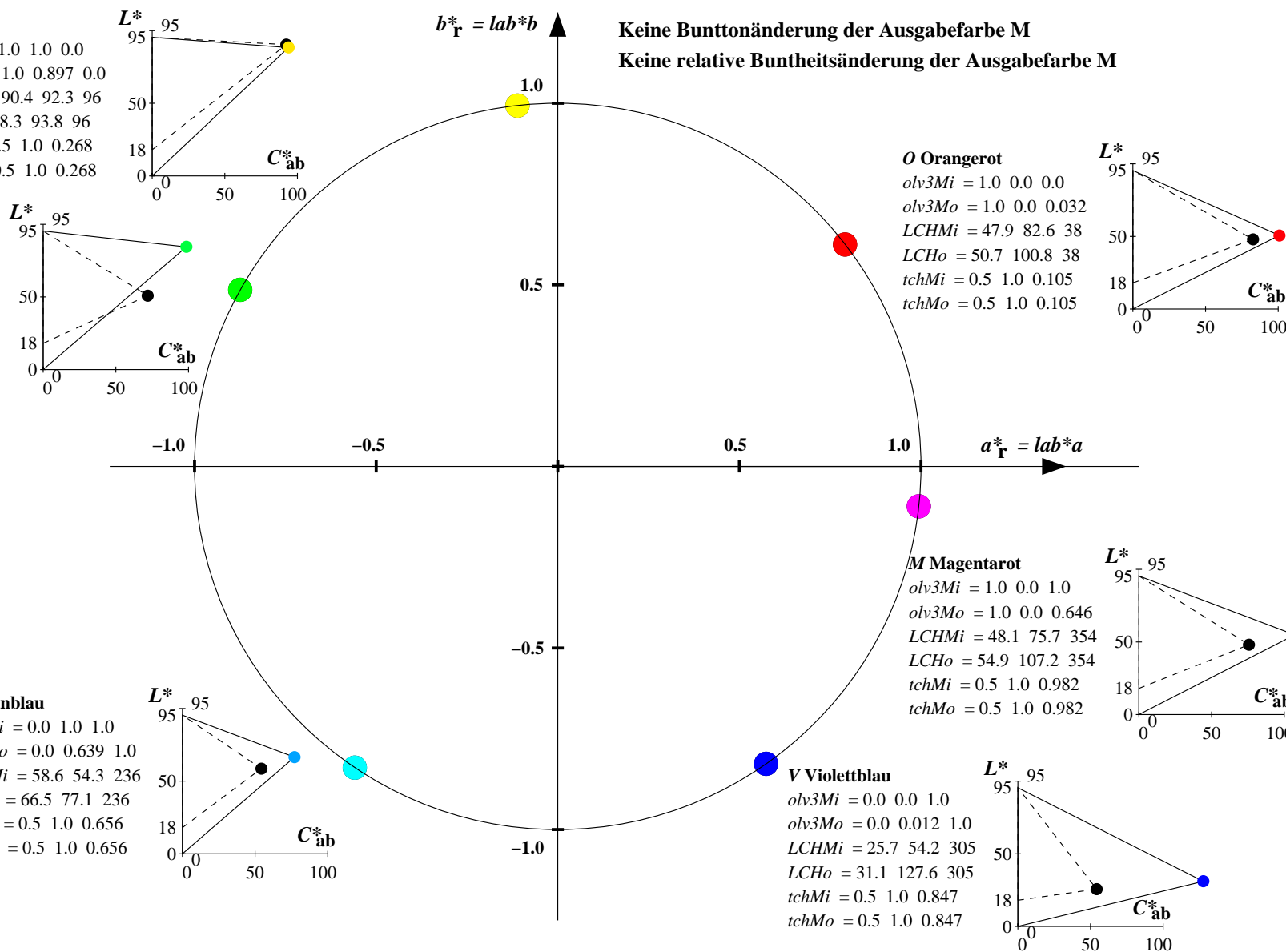
M Magentarot

$olv3Mi = 1.0 \ 0.0 \ 1.0$
 $olv3Mo = 1.0 \ 0.0 \ 0.646$
 $LCHMi = 48.1 \ 75.7 \ 354$
 $LCHo = 54.9 \ 107.2 \ 354$
 $tchMi = 0.5 \ 1.0 \ 0.982$
 $tchMo = 0.5 \ 1.0 \ 0.982$

O Orangerot

$olv3Mi = 1.0 \ 0.0 \ 0.0$
 $olv3Mo = 1.0 \ 0.0 \ 0.032$
 $LCHMi = 47.9 \ 82.6 \ 38$
 $LCHo = 50.7 \ 100.8 \ 38$
 $tchMi = 0.5 \ 1.0 \ 0.105$
 $tchMo = 0.5 \ 1.0 \ 0.105$

Keine Bunttonänderung der Ausgabefarbe M
Keine relative Buntheitsänderung der Ausgabefarbe M



Relatives CIELAB-Buntheitsdiagramm: ($a^*_r = lab^*a$, $b^*_r = lab^*b$) und **absolutes CIELAB Bunttondreiecks-Diagramm:** (L^* , C^*_{ab}) für Ein- (---) und Ausgabe (----) ORS18: Eingabe (i) Farbmatrik-Sytem; Sechs Bunttonwinkel des Farbgerätes: (37.7, 96.4, 150.9, 236.0, 305.0, 353.7); Vier Bunttonwinkel der Elementarfarben: (24.7, 91.8, 164.5, 271.4)
TLS00: Ausgabe (o) Farbmatrik-Sytem; Sechs Bunttonwinkel des Farbgerätes: (40.0, 102.8, 136.0, 196.4, 306.3, 328.2); Vier Bunttonwinkel der Elementarfarben: (25.5, 92.3, 162.2, 271.7)

Y Gelb

$olv3Mi = 1.0 \ 1.0 \ 0.0$
 $olv3Mo = 0.893 \ 1.0 \ 0.0$
 $LCHMi = 90.4 \ 92.3 \ 96$
 $LCHo = 91.7 \ 95.4 \ 106$
 $tchMi = 0.5 \ 1.0 \ 0.268$
 $tchMo = 0.5 \ 1.0 \ 0.296$

L Laubgrün

$olv3Mi = 0.0 \ 1.0 \ 0.0$
 $olv3Mo = 0.0 \ 1.0 \ 0.413$
 $LCHMi = 50.9 \ 71.9 \ 151$
 $LCHo = 85.0 \ 87.4 \ 161$
 $tchMi = 0.5 \ 1.0 \ 0.419$
 $tchMo = 0.5 \ 1.0 \ 0.447$

C Cyanblau

$olv3Mi = 0.0 \ 1.0 \ 1.0$
 $olv3Mo = 0.0 \ 0.548 \ 1.0$
 $LCHMi = 58.6 \ 54.3 \ 236$
 $LCHo = 61.4 \ 84.4 \ 246$
 $tchMi = 0.5 \ 1.0 \ 0.656$
 $tchMo = 0.5 \ 1.0 \ 0.683$

M Magentarot

$olv3Mi = 1.0 \ 0.0 \ 1.0$
 $olv3Mo = 1.0 \ 0.0 \ 0.557$
 $LCHMi = 48.1 \ 75.7 \ 354$
 $LCHo = 54.3 \ 106.3 \ 0$
 $tchMi = 0.5 \ 1.0 \ 0.982$
 $tchMo = 0.5 \ 1.0 \ 1.0$

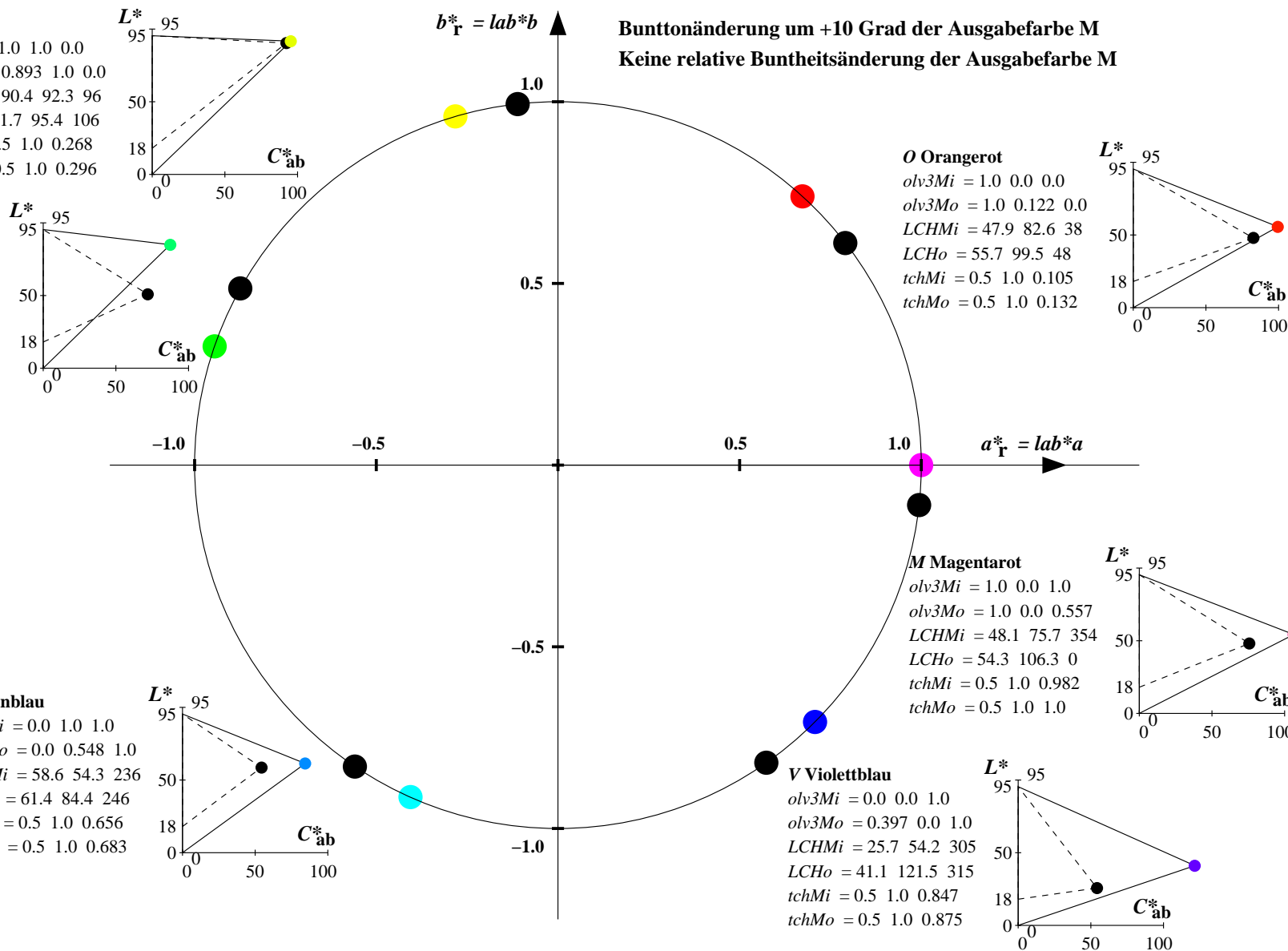
V Violettblau

$olv3Mi = 0.0 \ 0.0 \ 1.0$
 $olv3Mo = 0.397 \ 0.0 \ 1.0$
 $LCHMi = 25.7 \ 54.2 \ 305$
 $LCHo = 41.1 \ 121.5 \ 315$
 $tchMi = 0.5 \ 1.0 \ 0.847$
 $tchMo = 0.5 \ 1.0 \ 0.875$

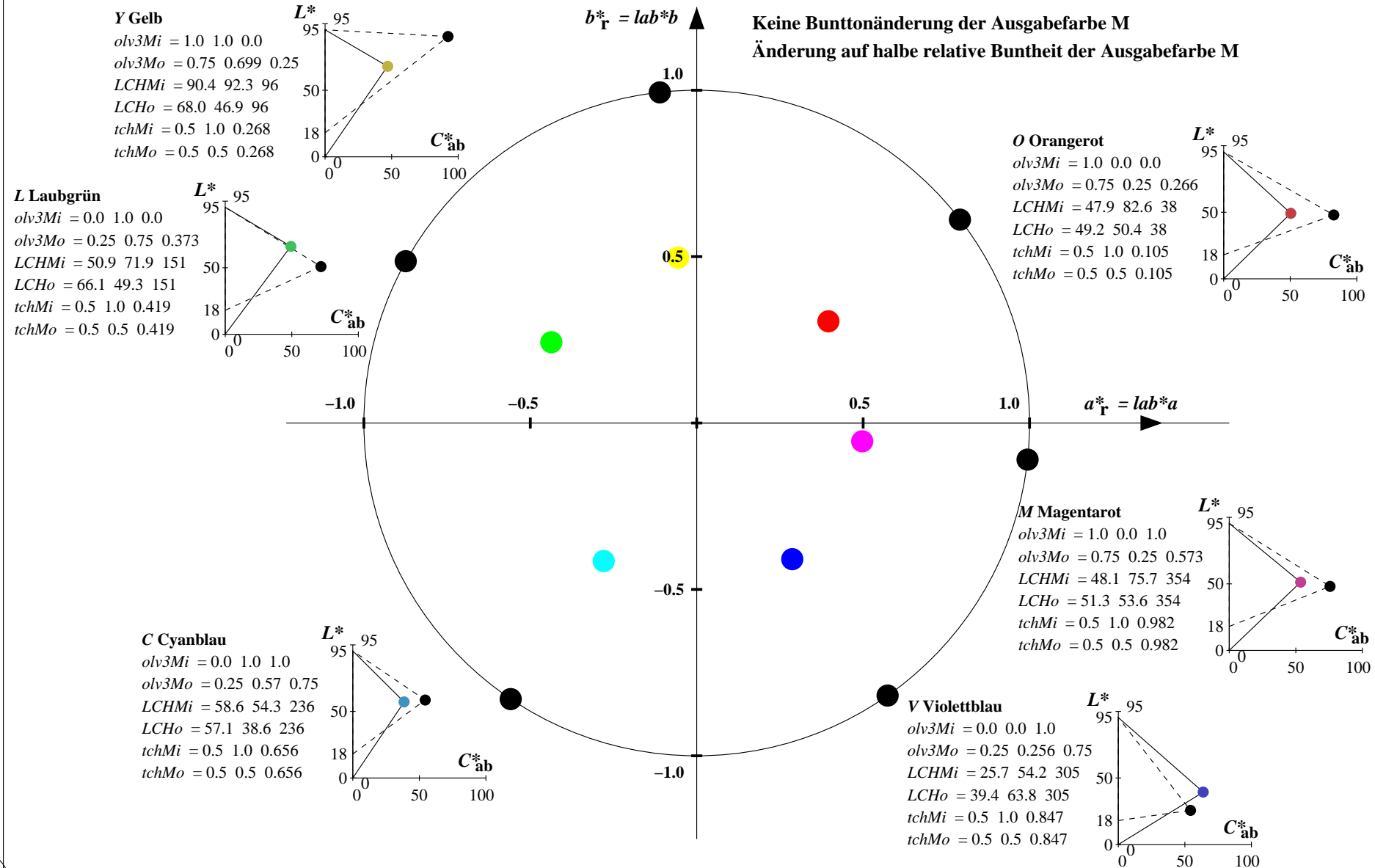
O Orangerot

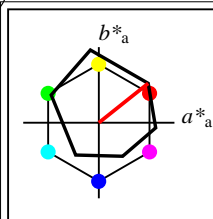
$olv3Mi = 1.0 \ 0.0 \ 0.0$
 $olv3Mo = 1.0 \ 0.122 \ 0.0$
 $LCHMi = 47.9 \ 82.6 \ 38$
 $LCHo = 55.7 \ 99.5 \ 48$
 $tchMi = 0.5 \ 1.0 \ 0.105$
 $tchMo = 0.5 \ 1.0 \ 0.132$

Bunttonänderung um +10 Grad der Ausgabefarbe M
Keine relative Buntheitsänderung der Ausgabefarbe M



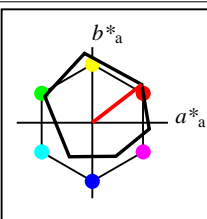
Relatives CIELAB-Buntheitsdiagramm: ($a_R^* = lab^*a$, $b_R^* = lab^*b$) und absolutes CIELAB Bunttondreiecks-Diagramm: (L^* , C_{ab}^*) für Ein- (---) und Ausgabe (----) ORS18: Eingabe (i) Farbmatrik-Sytem; Sechs Bunttonwinkel des Farbgerätes: (37.7, 96.4, 150.9, 236.0, 305.0, 353.7); Vier Bunttonwinkel der Elementarfarben: (24.7, 91.8, 164.5, 271.4)
TLS00: Ausgabe (o) Farbmatrik-Sytem; Sechs Bunttonwinkel des Farbgerätes: (40.0, 102.8, 136.0, 196.4, 306.3, 328.2); Vier Bunttonwinkel der Elementarfarben: (25.5, 92.3, 162.2, 271.7)





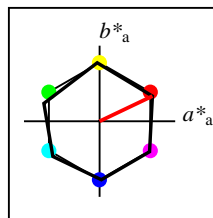
%Umfang
 $u^*_{rel} = 94$
%Regularität
 $g^*_{H,rel} = 58$
 $g^*_{C,rel} = 54$

ORS18	$L^*=L^*_a$	a^*_a	b^*_a	$C^*_{ab,a}$	$h^*_{ab,a}$
O _M	47.94	65.31	52.07	83.53	39
Y _M	90.37	-11.15	96.17	96.82	97
L _M	50.9	-62.96	36.71	72.89	150
C _M	58.62	-30.62	-42.74	52.59	234
V _M	25.72	31.45	-44.35	54.38	305
M _M	48.13	75.2	-6.79	75.51	355
N _M	18.01	0.5	-0.46	0.69	317
W _M	95.41	-0.98	4.76	4.86	102
R _{CIE}	39.92	58.74	27.99	65.07	25
J _{CIE}	81.26	-2.88	71.56	71.62	92
G _{CIE}	52.23	-42.41	13.6	44.55	162
B _{CIE}	30.57	1.41	-46.46	46.49	272



%Umfang
 $u^*_{rel} = 93$
%Regularität
 $g^*_{H,rel} = 57$
 $g^*_{C,rel} = 59$

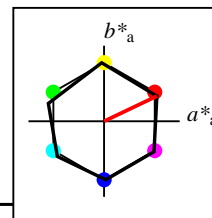
ORS18a; adaptierte CIELAB-Daten	$L^*=L^*_a$	a^*_a	b^*_a	$C^*_{ab,a}$	$h^*_{ab,a}$
O _{Ma}	47.94	65.39	50.52	82.63	38
Y _{Ma}	90.37	-10.26	91.75	92.32	96
L _{Ma}	50.9	-62.83	34.96	71.91	151
C _{Ma}	58.62	-30.34	-45.01	54.3	236
V _{Ma}	25.72	31.1	-44.4	54.22	305
M _{Ma}	48.13	75.28	-8.36	75.74	354
N _{Ma}	18.01	0.0	0.0	0.0	0
W _{Ma}	95.41	0.0	0.0	0.0	0
R _{CIE}	39.92	58.66	26.98	64.57	25
J _{CIE}	81.26	-2.16	67.76	67.79	92
G _{CIE}	52.23	-42.25	11.76	43.87	164
B _{CIE}	30.57	1.15	-46.84	46.86	271



%Umfang
 $u^*_{rel} = 100$
%Regularität
 $g^*_{H,rel} = 78$
 $g^*_{C,rel} = 100$

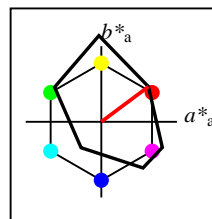
NRS18a; adaptierte CIELAB-Daten	$L^*=L^*_a$	a^*_a	b^*_a	$C^*_{ab,a}$	$h^*_{ab,a}$
O _{Ma}	56.71	69.87	33.29	77.4	25
Y _{Ma}	56.71	-3.1	77.34	77.4	92
L _{Ma}	56.71	-73.68	23.63	77.39	162
C _{Ma}	56.71	-61.81	-46.54	77.39	217
V _{Ma}	56.71	2.35	-77.34	77.39	272
M _{Ma}	56.71	66.07	-40.3	77.4	329
N _{Ma}	18.01	0.0	0.0	0.0	0
W _{Ma}	95.41	0.0	0.0	0.0	0
R _{CIE}	39.92	58.74	27.99	65.07	25
J _{CIE}	81.26	-2.88	71.56	71.62	92
G _{CIE}	52.23	-42.41	13.6	44.55	162
B _{CIE}	30.57	1.41	-46.46	46.49	272

Workflow-Wahlen
für Farbmuster:
1. keine Farbänderung
2. Buntton-Änderung
3. Buntheits-Änderung



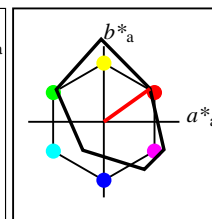
%Umfang
 $u^*_{rel} = 100$
%Regularität
 $g^*_{H,rel} = 78$
 $g^*_{C,rel} = 100$

NRS18a; adaptierte CIELAB-Daten	$L^*=L^*_a$	a^*_a	b^*_a	$C^*_{ab,a}$	$h^*_{ab,a}$
O _{Ma}	56.71	69.87	33.29	77.4	25
Y _{Ma}	56.71	-3.1	77.34	77.4	92
L _{Ma}	56.71	-73.68	23.63	77.39	162
C _{Ma}	56.71	-61.81	-46.54	77.39	217
V _{Ma}	56.71	2.35	-77.34	77.39	272
M _{Ma}	56.71	66.07	-40.3	77.4	329
N _{Ma}	18.01	0.0	0.0	0.0	0
W _{Ma}	95.41	0.0	0.0	0.0	0
R _{CIE}	39.92	58.74	27.99	65.07	25
J _{CIE}	81.26	-2.88	71.56	71.62	92
G _{CIE}	52.23	-42.41	13.6	44.55	162
B _{CIE}	30.57	1.41	-46.46	46.49	272



%Umfang
 $u^*_{rel} = 115$
%Regularität
 $g^*_{H,rel} = 28$
 $g^*_{C,rel} = 38$

FRS06a; adaptierte CIELAB-Daten	$L^*=L^*_a$	a^*_a	b^*_a	$C^*_{ab,a}$	$h^*_{ab,a}$
O _{Ma}	32.57	62.32	46.49	77.75	37
Y _{Ma}	82.73	-3.16	113.99	114.03	92
L _{Ma}	39.43	-61.79	45.84	76.95	143
C _{Ma}	47.86	-26.79	-34.24	43.49	232
V _{Ma}	10.16	55.12	-61.03	82.24	312
M _{Ma}	34.5	80.68	-33.92	87.52	337
N _{Ma}	6.25	0.0	0.0	0.0	0
W _{Ma}	91.97	0.0	0.0	0.0	0
R _{CIE}	39.92	59.8	31.05	67.38	27
J _{CIE}	81.26	-2.52	76.25	76.29	92
G _{CIE}	52.23	-41.56	17.14	44.96	158
B _{CIE}	30.57	2.63	-43.77	43.86	273



%Umfang
 $u^*_{rel} = 114$
%Regularität
 $g^*_{H,rel} = 28$
 $g^*_{C,rel} = 43$

FRS06	$L^*=L^*_a$	a^*_a	b^*_a	$C^*_{ab,a}$	$h^*_{ab,a}$
O _M	32.57	61.14	43.72	75.16	36
Y _M	82.73	-3.5	109.24	109.3	92
L _M	39.43	-62.86	42.8	76.06	146
C _M	47.86	-27.72	-37.61	46.74	234
V _M	10.16	53.56	-62.91	82.63	310
M _M	34.5	79.53	-36.76	87.62	335
N _M	6.25	-1.62	-1.72	2.38	227
W _M	91.97	-0.17	-5.1	5.11	268
R _{CIE}	39.92	58.74	27.99	65.07	25
J _{CIE}	81.26	-2.88	71.56	71.62	92
G _{CIE}	52.23	-42.41	13.6	44.55	162
B _{CIE}	30.57	1.41	-46.46	46.49	272

Relatives CIELAB-Buntheitsdiagramm: ($a^*_R = lab^*a$, $b^*_R = lab^*b$) und absolutes CIELAB Bunttondreiecks-Diagramm: (L^* , C^*_{ab}) für Ein- (---) und Ausgabe (----) ORS18: Eingabe (i) Farbmatrik-Sytem; Sechs Bunttonwinkel des Farbgerätes: (37.7, 96.4, 150.9, 236.0, 305.0, 353.7); Vier Bunttonwinkel der Elementarfarben: (24.7, 91.8, 164.5, 271.4) FRS06: Ausgabe (o) Farbmatrik-Sytem; Sechs Bunttonwinkel des Farbgerätes: (36.7, 91.6, 143.4, 232.0, 312.1, 337.2); Vier Bunttonwinkel der Elementarfarben: (27.4, 91.9, 157.6, 273.4)

Y Gelb

$olv3Mi = 1.0 \ 1.0 \ 0.0$
 $olv3Mo = 0.908 \ 1.0 \ 0.0$
 $LCHMi = 90.4 \ 92.3 \ 96$
 $LCHo = 78.7 \ 110.6 \ 96$
 $tchMi = 0.5 \ 1.0 \ 0.268$
 $tchMo = 0.5 \ 1.0 \ 0.268$

L Laubgrün

$olv3Mi = 0.0 \ 1.0 \ 0.0$
 $olv3Mo = 0.0 \ 1.0 \ 0.084$
 $LCHMi = 50.9 \ 71.9 \ 151$
 $LCHo = 40.1 \ 74.1 \ 151$
 $tchMi = 0.5 \ 1.0 \ 0.419$
 $tchMo = 0.5 \ 1.0 \ 0.419$

C Cyanblau

$olv3Mi = 0.0 \ 1.0 \ 1.0$
 $olv3Mo = 0.0 \ 0.949 \ 1.0$
 $LCHMi = 58.6 \ 54.3 \ 236$
 $LCHo = 45.9 \ 45.5 \ 236$
 $tchMi = 0.5 \ 1.0 \ 0.656$
 $tchMo = 0.5 \ 1.0 \ 0.656$

V Violettblau

$olv3Mi = 0.0 \ 0.0 \ 1.0$
 $olv3Mo = 0.0 \ 0.088 \ 1.0$
 $LCHMi = 25.7 \ 54.2 \ 305$
 $LCHo = 13.5 \ 78.8 \ 305$
 $tchMi = 0.5 \ 1.0 \ 0.847$
 $tchMo = 0.5 \ 1.0 \ 0.847$

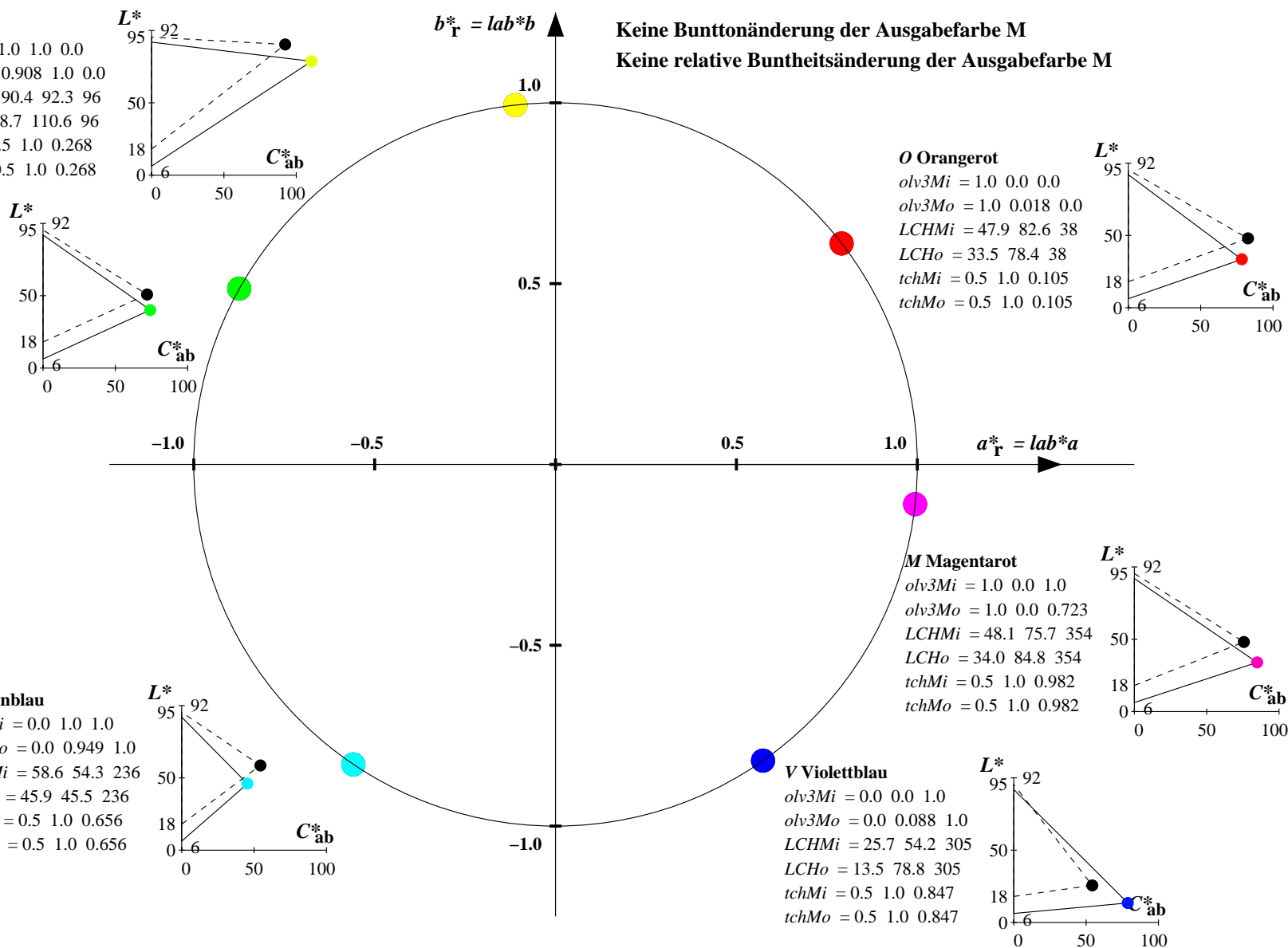
M Magentarot

$olv3Mi = 1.0 \ 0.0 \ 1.0$
 $olv3Mo = 1.0 \ 0.0 \ 0.723$
 $LCHMi = 48.1 \ 75.7 \ 354$
 $LCHo = 34.0 \ 84.8 \ 354$
 $tchMi = 0.5 \ 1.0 \ 0.982$
 $tchMo = 0.5 \ 1.0 \ 0.982$

O Orangerot

$olv3Mi = 1.0 \ 0.0 \ 0.0$
 $olv3Mo = 1.0 \ 0.018 \ 0.0$
 $LCHMi = 47.9 \ 82.6 \ 38$
 $LCHo = 33.5 \ 78.4 \ 38$
 $tchMi = 0.5 \ 1.0 \ 0.105$
 $tchMo = 0.5 \ 1.0 \ 0.105$

Keine Bunttonänderung der Ausgabefarbe M
Keine relative Buntheitsänderung der Ausgabefarbe M



Relatives CIELAB-Buntheitsdiagramm: ($a_R^* = lab^*a$, $b_R^* = lab^*b$) und **absolutes CIELAB Bunttondreiecks-Diagramm:** (L^* , C_{ab}^*) für Ein- (---) und Ausgabe (----) ORS18: Eingabe (i) Farbmatrik-Sytem; Sechs Bunttonwinkel des Farbgerätes: (37.7, 96.4, 150.9, 236.0, 305.0, 353.7); Vier Bunttonwinkel der Elementarfarben: (24.7, 91.8, 164.5, 271.4) FRS06: Ausgabe (o) Farbmatrik-Sytem; Sechs Bunttonwinkel des Farbgerätes: (36.7, 91.6, 143.4, 232.0, 312.1, 337.2); Vier Bunttonwinkel der Elementarfarben: (27.4, 91.9, 157.6, 273.4)

Y Gelb

olv3Mi = 1.0 1.0 0.0
olv3Mo = 0.715 1.0 0.0
LCHMi = 90.4 92.3 96
LCHo = 70.4 103.4 106
tchMi = 0.5 1.0 0.268
tchMo = 0.5 1.0 0.296

L Laubgrün

olv3Mi = 0.0 1.0 0.0
olv3Mo = 0.0 1.0 0.198
LCHMi = 50.9 71.9 151
LCHo = 41.1 70.3 161
tchMi = 0.5 1.0 0.419
tchMo = 0.5 1.0 0.447

C Cyanblau

olv3Mi = 0.0 1.0 1.0
olv3Mo = 0.0 0.824 1.0
LCHMi = 58.6 54.3 236
LCHo = 41.2 50.3 246
tchMi = 0.5 1.0 0.656
tchMo = 0.5 1.0 0.683

O Orangerot

olv3Mi = 1.0 0.0 0.0
olv3Mo = 1.0 0.2 0.0
LCHMi = 47.9 82.6 38
LCHo = 42.6 85.0 48
tchMi = 0.5 1.0 0.105
tchMo = 0.5 1.0 0.132

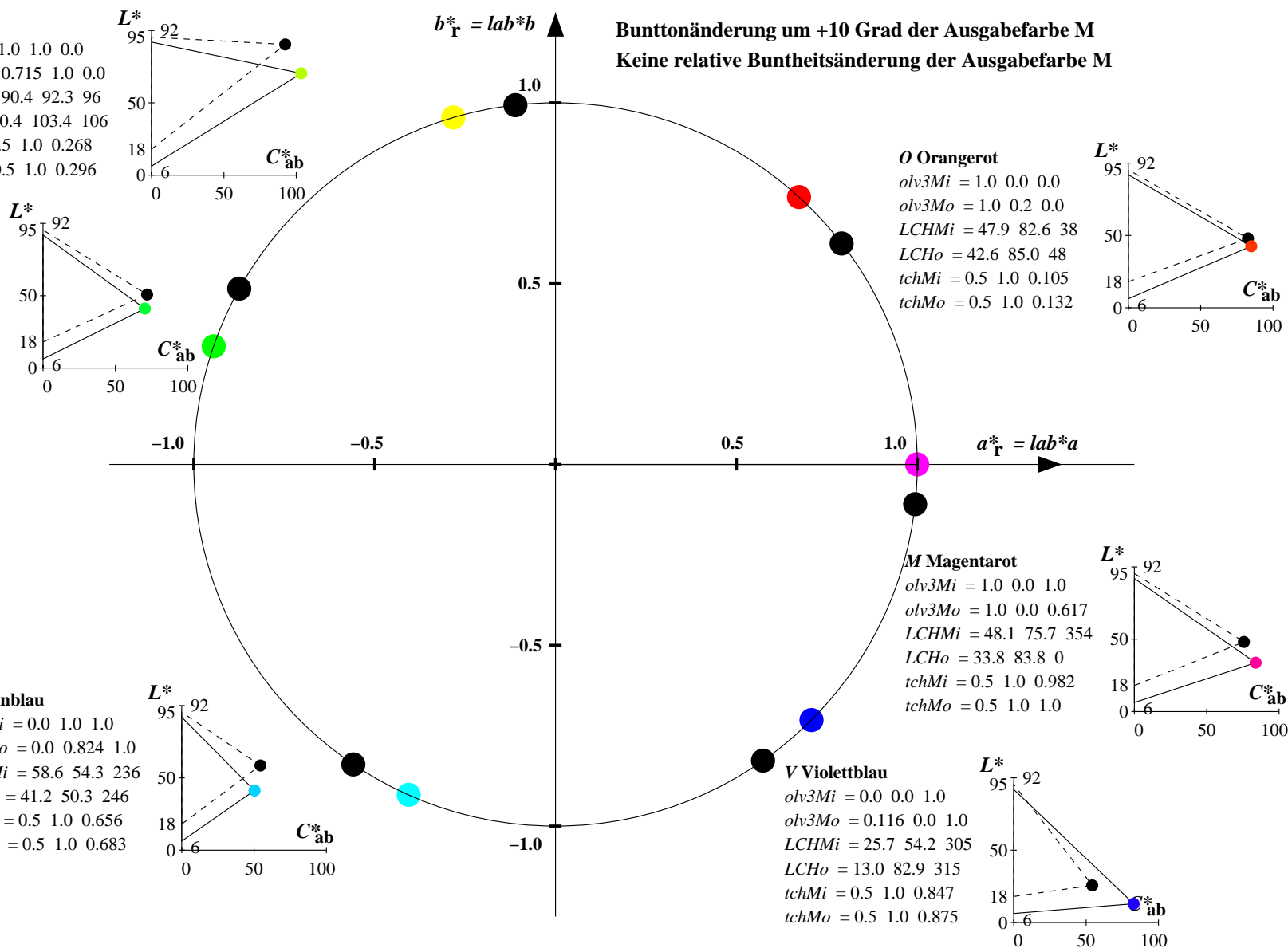
M Magentarot

olv3Mi = 1.0 0.0 1.0
olv3Mo = 1.0 0.0 0.617
LCHMi = 48.1 75.7 354
LCHo = 33.8 83.8 0
tchMi = 0.5 1.0 0.982
tchMo = 0.5 1.0 1.0

V Violettblau

olv3Mi = 0.0 0.0 1.0
olv3Mo = 0.116 0.0 1.0
LCHMi = 25.7 54.2 305
LCHo = 13.0 82.9 315
tchMi = 0.5 1.0 0.847
tchMo = 0.5 1.0 0.875

Bunttonänderung um +10 Grad der Ausgabefarbe M
Keine relative Buntheitsänderung der Ausgabefarbe M



Relatives CIELAB-Buntheitsdiagramm: ($a_R^* = lab^*a$, $b_R^* = lab^*b$) und absolutes CIELAB Bunttondreiecks-Diagramm: (L^* , C_{ab}^*) für Ein- (---) und Ausgabe (----) ORS18: Eingabe (i) Farbmatrik-Sytem; Sechs Bunttonwinkel des Farbgerätes: (37.7, 96.4, 150.9, 236.0, 305.0, 353.7); Vier Bunttonwinkel der Elementarfarben: (24.7, 91.8, 164.5, 271.4) FRS06: Ausgabe (o) Farbmatrik-Sytem; Sechs Bunttonwinkel des Farbgerätes: (36.7, 91.6, 143.4, 232.0, 312.1, 337.2); Vier Bunttonwinkel der Elementarfarben: (27.4, 91.9, 157.6, 273.4)

Y Gelb

olv3Mi = 1.0 1.0 0.0
olv3Mo = 0.704 0.75 0.25
LCHMi = 90.4 92.3 96
LCHo = 62.4 55.3 96
tchMi = 0.5 1.0 0.268
tchMo = 0.5 0.5 0.268

L Laubgrün

olv3Mi = 0.0 1.0 0.0
olv3Mo = 0.25 0.75 0.292
LCHMi = 50.9 71.9 151
LCHo = 43.1 37.1 151
tchMi = 0.5 1.0 0.419
tchMo = 0.5 0.5 0.419

C Cyanblau

olv3Mi = 0.0 1.0 1.0
olv3Mo = 0.25 0.725 0.75
LCHMi = 58.6 54.3 236
LCHo = 46.0 22.7 236
tchMi = 0.5 1.0 0.656
tchMo = 0.5 0.5 0.656

O Orangerot

olv3Mi = 1.0 0.0 0.0
olv3Mo = 0.75 0.259 0.25
LCHMi = 47.9 82.6 38
LCHo = 39.7 39.2 38
tchMi = 0.5 1.0 0.105
tchMo = 0.5 0.5 0.105

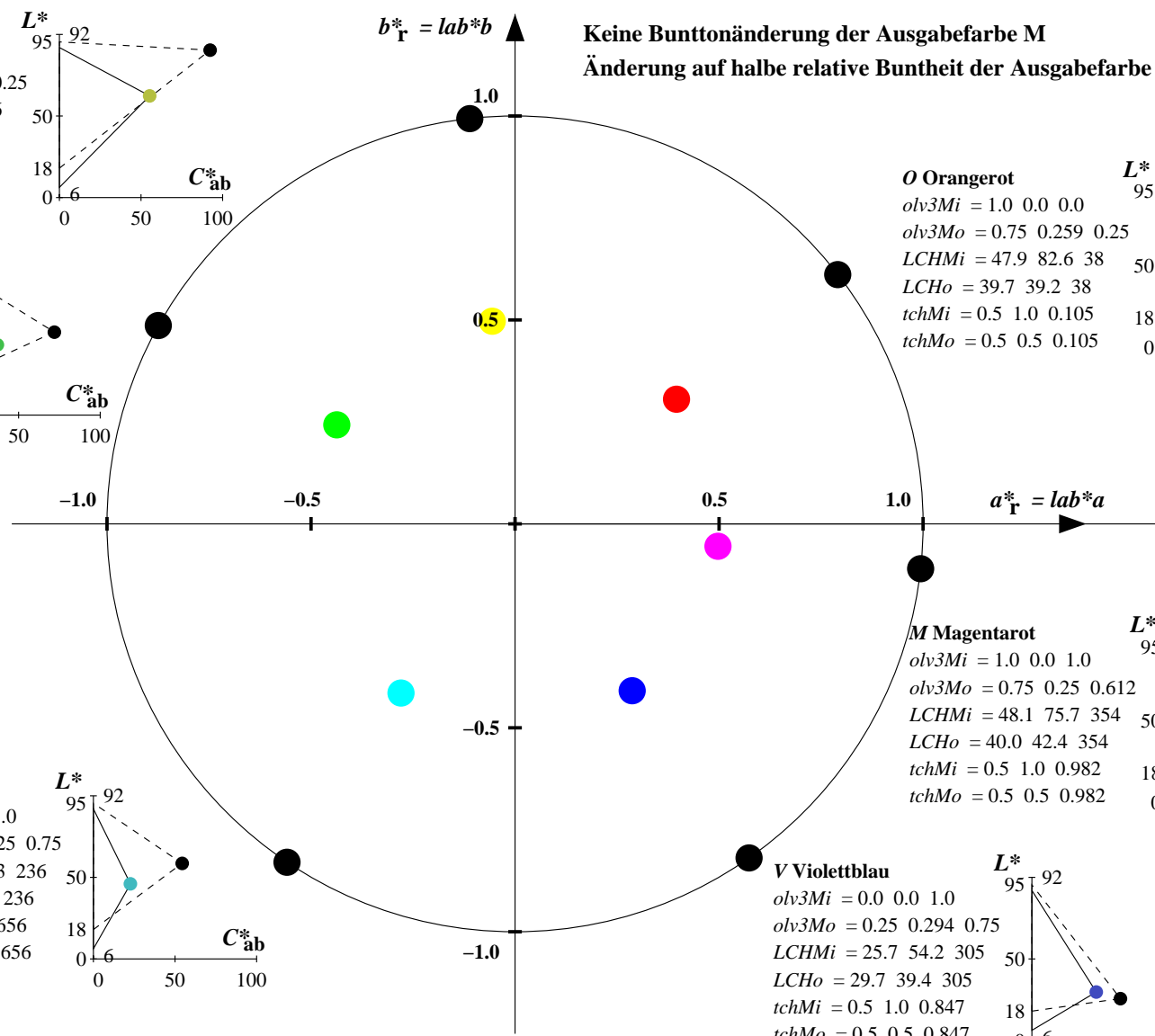
M Magentarot

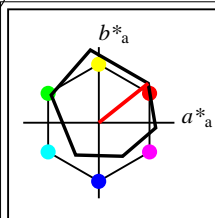
olv3Mi = 1.0 0.0 1.0
olv3Mo = 0.75 0.25 0.612
LCHMi = 48.1 75.7 354
LCHo = 40.0 42.4 354
tchMi = 0.5 1.0 0.982
tchMo = 0.5 0.5 0.982

V Violettblau

olv3Mi = 0.0 0.0 1.0
olv3Mo = 0.25 0.294 0.75
LCHMi = 25.7 54.2 305
LCHo = 29.7 39.4 305
tchMi = 0.5 1.0 0.847
tchMo = 0.5 0.5 0.847

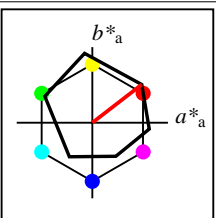
Keine Bunttonänderung der Ausgabefarbe M
Änderung auf halbe relative Buntheit der Ausgabefarbe M





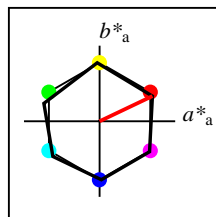
%Umfang
 $u^*_{rel} = 94$
%Regularität
 $g^*_{H,rel} = 58$
 $g^*_{C,rel} = 54$

ORS18	$L^*=L^*_a$	a^*_a	b^*_a	$C^*_{ab,a}$	$h^*_{ab,a}$
O _M	47.94	65.31	52.07	83.53	39
Y _M	90.37	-11.15	96.17	96.82	97
L _M	50.9	-62.96	36.71	72.89	150
C _M	58.62	-30.62	-42.74	52.59	234
V _M	25.72	31.45	-44.35	54.38	305
M _M	48.13	75.2	-6.79	75.51	355
N _M	18.01	0.5	-0.46	0.69	317
W _M	95.41	-0.98	4.76	4.86	102
R _{CIE}	39.92	58.74	27.99	65.07	25
J _{CIE}	81.26	-2.88	71.56	71.62	92
G _{CIE}	52.23	-42.41	13.6	44.55	162
B _{CIE}	30.57	1.41	-46.46	46.49	272



%Umfang
 $u^*_{rel} = 93$
%Regularität
 $g^*_{H,rel} = 57$
 $g^*_{C,rel} = 59$

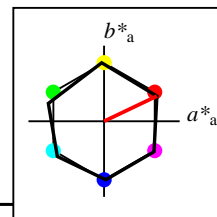
ORS18a; adaptierte CIELAB-Daten	$L^*=L^*_a$	a^*_a	b^*_a	$C^*_{ab,a}$	$h^*_{ab,a}$
O _{Ma}	47.94	65.39	50.52	82.63	38
Y _{Ma}	90.37	-10.26	91.75	92.32	96
L _{Ma}	50.9	-62.83	34.96	71.91	151
C _{Ma}	58.62	-30.34	-45.01	54.3	236
V _{Ma}	25.72	31.1	-44.4	54.22	305
M _{Ma}	48.13	75.28	-8.36	75.74	354
N _{Ma}	18.01	0.0	0.0	0.0	0
W _{Ma}	95.41	0.0	0.0	0.0	0
R _{CIE}	39.92	58.66	26.98	64.57	25
J _{CIE}	81.26	-2.16	67.76	67.79	92
G _{CIE}	52.23	-42.25	11.76	43.87	164
B _{CIE}	30.57	1.15	-46.84	46.86	271



%Umfang
 $u^*_{rel} = 100$
%Regularität
 $g^*_{H,rel} = 78$
 $g^*_{C,rel} = 100$

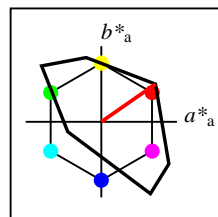
NRS18a; adaptierte CIELAB-Daten	$L^*=L^*_a$	a^*_a	b^*_a	$C^*_{ab,a}$	$h^*_{ab,a}$
O _{Ma}	56.71	69.87	33.29	77.4	25
Y _{Ma}	56.71	-3.1	77.34	77.4	92
L _{Ma}	56.71	-73.68	23.63	77.39	162
C _{Ma}	56.71	-61.81	-46.54	77.39	217
V _{Ma}	56.71	2.35	-77.34	77.39	272
M _{Ma}	56.71	66.07	-40.3	77.4	329
N _{Ma}	18.01	0.0	0.0	0.0	0
W _{Ma}	95.41	0.0	0.0	0.0	0
R _{CIE}	39.92	58.74	27.99	65.07	25
J _{CIE}	81.26	-2.88	71.56	71.62	92
G _{CIE}	52.23	-42.41	13.6	44.55	162
B _{CIE}	30.57	1.41	-46.46	46.49	272

Workflow-Wahlen
für Farbmuster:
1. keine Farbänderung
2. Buntton-Änderung
3. Buntheits-Änderung



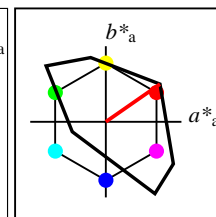
%Umfang
 $u^*_{rel} = 100$
%Regularität
 $g^*_{H,rel} = 78$
 $g^*_{C,rel} = 100$

NRS18a; adaptierte CIELAB-Daten	$L^*=L^*_a$	a^*_a	b^*_a	$C^*_{ab,a}$	$h^*_{ab,a}$
O _{Ma}	56.71	69.87	33.29	77.4	25
Y _{Ma}	56.71	-3.1	77.34	77.4	92
L _{Ma}	56.71	-73.68	23.63	77.39	162
C _{Ma}	56.71	-61.81	-46.54	77.39	217
V _{Ma}	56.71	2.35	-77.34	77.39	272
M _{Ma}	56.71	66.07	-40.3	77.4	329
N _{Ma}	18.01	0.0	0.0	0.0	0
W _{Ma}	95.41	0.0	0.0	0.0	0
R _{CIE}	39.92	58.74	27.99	65.07	25
J _{CIE}	81.26	-2.88	71.56	71.62	92
G _{CIE}	52.23	-42.41	13.6	44.55	162
B _{CIE}	30.57	1.41	-46.46	46.49	272



%Umfang
 $u^*_{rel} = 118$
%Regularität
 $g^*_{H,rel} = 22$
 $g^*_{C,rel} = 40$

TLS18a; adaptierte CIELAB-Daten	$L^*=L^*_a$	a^*_a	b^*_a	$C^*_{ab,a}$	$h^*_{ab,a}$
O _{Ma}	52.76	71.63	49.88	87.29	35
Y _{Ma}	92.74	-20.02	84.97	87.3	103
L _{Ma}	84.0	-78.98	73.94	108.2	137
C _{Ma}	87.14	-44.41	-13.11	46.32	196
V _{Ma}	35.47	64.92	-95.06	115.12	304
M _{Ma}	59.01	89.33	-55.67	105.26	328
N _{Ma}	18.01	0.0	0.0	0.0	0
W _{Ma}	95.41	0.0	0.0	0.0	0
R _{CIE}	39.92	58.74	27.99	65.07	25
J _{CIE}	81.26	-2.88	71.56	71.62	92
G _{CIE}	52.23	-42.41	13.6	44.55	162
B _{CIE}	30.57	1.41	-46.46	46.49	272



%Umfang
 $u^*_{rel} = 118$
%Regularität
 $g^*_{H,rel} = 22$
 $g^*_{C,rel} = 40$

TLS18	$L^*=L^*_a$	a^*_a	b^*_a	$C^*_{ab,a}$	$h^*_{ab,a}$
O _M	52.76	71.63	49.88	87.29	35
Y _M	92.74	-20.02	84.97	87.3	103
L _M	84.0	-78.98	73.94	108.2	137
C _M	87.14	-44.41	-13.11	46.32	196
V _M	35.47	64.92	-95.06	115.12	304
M _M	59.01	89.33	-55.67	105.26	328
N _M	18.01	0.0	0.0	0.0	0
W _M	95.41	0.0	0.0	0.0	0
R _{CIE}	39.92	58.74	27.99	65.07	25
J _{CIE}	81.26	-2.88	71.56	71.62	92
G _{CIE}	52.23	-42.41	13.6	44.55	162
B _{CIE}	30.57	1.41	-46.46	46.49	272

Relatives CIELAB-Buntheitsdiagramm: ($a_R^* = lab^*a$, $b_R^* = lab^*b$) und absolutes CIELAB Bunttondreiecks-Diagramm: (L^* , C_{ab}^*) für Ein- (---) und Ausgabe (----) ORS18: Eingabe (i) Farbmatrik-Sytem; Sechs Bunttonwinkel des Farbgerätes: (37.7, 96.4, 150.9, 236.0, 305.0, 353.7); Vier Bunttonwinkel der Elementarfarben: (24.7, 91.8, 164.5, 271.4)
TLS18: Ausgabe (o) Farbmatrik-Sytem; Sechs Bunttonwinkel des Farbgerätes: (34.9, 103.3, 136.9, 196.5, 304.3, 328.1); Vier Bunttonwinkel der Elementarfarben: (25.5, 92.3, 162.2, 271.7)

Y Gelb

$olv3Mi = 1.0 \ 1.0 \ 0.0$
 $olv3Mo = 1.0 \ 0.899 \ 0.0$
 $LCHMi = 90.4 \ 92.3 \ 96$
 $LCHo = 88.7 \ 87.3 \ 96$
 $tchMi = 0.5 \ 1.0 \ 0.268$
 $tchMo = 0.5 \ 1.0 \ 0.268$

L Laubgrün

$olv3Mi = 0.0 \ 1.0 \ 0.0$
 $olv3Mo = 0.0 \ 1.0 \ 0.235$
 $LCHMi = 50.9 \ 71.9 \ 151$
 $LCHo = 84.7 \ 93.6 \ 151$
 $tchMi = 0.5 \ 1.0 \ 0.419$
 $tchMo = 0.5 \ 1.0 \ 0.419$

C Cyanblau

$olv3Mi = 0.0 \ 1.0 \ 1.0$
 $olv3Mo = 0.0 \ 0.633 \ 1.0$
 $LCHMi = 58.6 \ 54.3 \ 236$
 $LCHo = 68.2 \ 71.6 \ 236$
 $tchMi = 0.5 \ 1.0 \ 0.656$
 $tchMo = 0.5 \ 1.0 \ 0.656$

V Violettblau

$olv3Mi = 0.0 \ 0.0 \ 1.0$
 $olv3Mo = 0.028 \ 0.0 \ 1.0$
 $LCHMi = 25.7 \ 54.2 \ 305$
 $LCHo = 36.1 \ 114.8 \ 305$
 $tchMi = 0.5 \ 1.0 \ 0.847$
 $tchMo = 0.5 \ 1.0 \ 0.847$

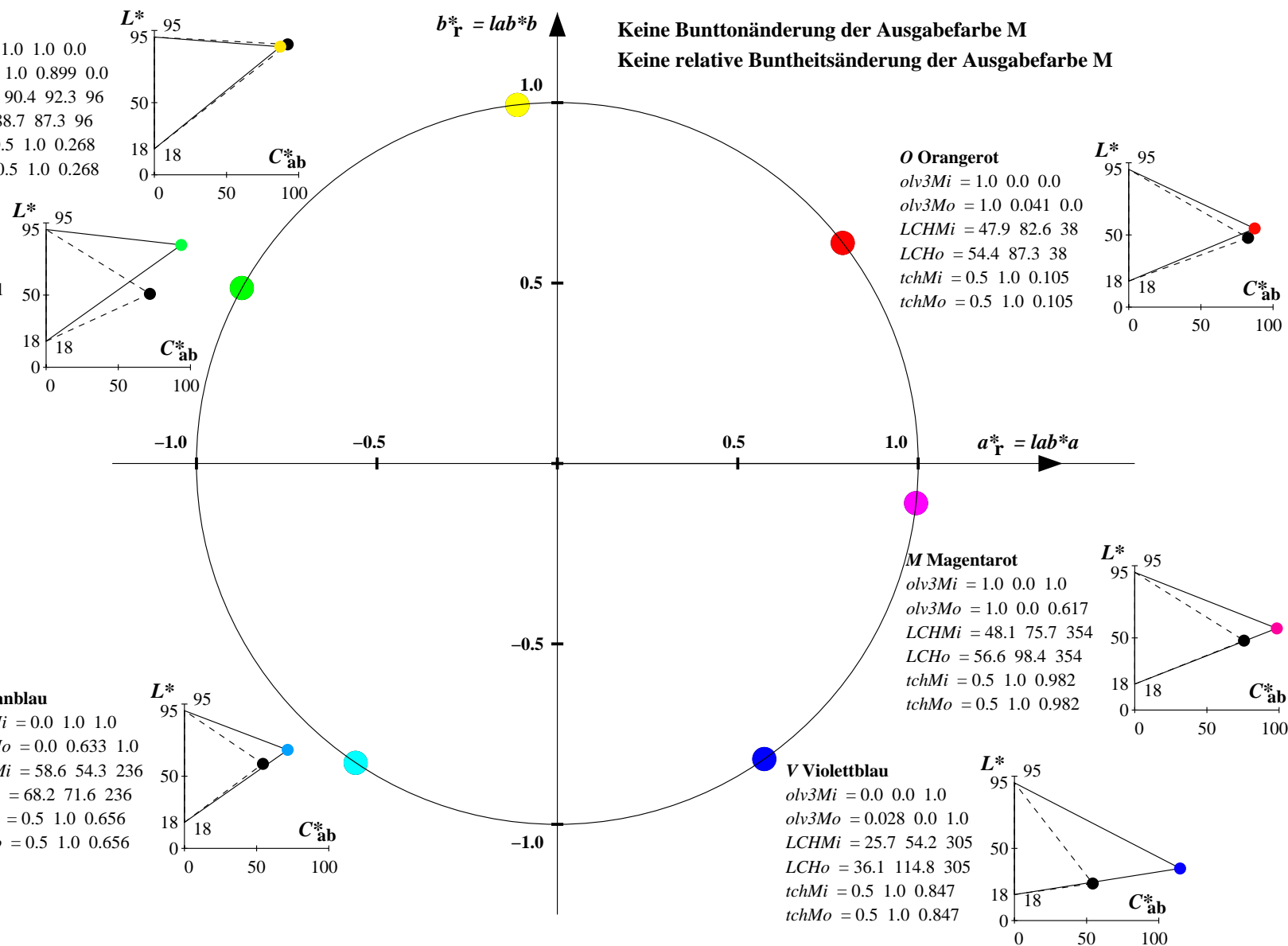
M Magentarot

$olv3Mi = 1.0 \ 0.0 \ 1.0$
 $olv3Mo = 1.0 \ 0.0 \ 0.617$
 $LCHMi = 48.1 \ 75.7 \ 354$
 $LCHo = 56.6 \ 98.4 \ 354$
 $tchMi = 0.5 \ 1.0 \ 0.982$
 $tchMo = 0.5 \ 1.0 \ 0.982$

O Orangerot

$olv3Mi = 1.0 \ 0.0 \ 0.0$
 $olv3Mo = 1.0 \ 0.041 \ 0.0$
 $LCHMi = 47.9 \ 82.6 \ 38$
 $LCHo = 54.4 \ 87.3 \ 38$
 $tchMi = 0.5 \ 1.0 \ 0.105$
 $tchMo = 0.5 \ 1.0 \ 0.105$

Keine Bunttonänderung der Ausgabefarbe M
Keine relative Buntheitsänderung der Ausgabefarbe M



Relatives CIELAB-Buntheitsdiagramm: ($a_R^* = lab^*a$, $b_R^* = lab^*b$) und absolutes CIELAB Bunttondreiecks-Diagramm: (L^* , C_{ab}^*) für Ein- (---) und Ausgabe (----) ORS18: Eingabe (i) Farbmatrik-Sytem; Sechs Bunttonwinkel des Farbgerätes: (37.7, 96.4, 150.9, 236.0, 305.0, 353.7); Vier Bunttonwinkel der Elementarfarben: (24.7, 91.8, 164.5, 271.4)
TLS18: Ausgabe (o) Farbmatrik-Sytem; Sechs Bunttonwinkel des Farbgerätes: (34.9, 103.3, 136.9, 196.5, 304.3, 328.1); Vier Bunttonwinkel der Elementarfarben: (25.5, 92.3, 162.2, 271.7)

Y Gelb

olv3Mi = 1.0 1.0 0.0
olv3Mo = 0.907 1.0 0.0
LCHMi = 90.4 92.3 96
LCHo = 91.9 89.2 106
tchMi = 0.5 1.0 0.268
tchMo = 0.5 1.0 0.296

L Laubgrün

olv3Mi = 0.0 1.0 0.0
olv3Mo = 0.0 1.0 0.403
LCHMi = 50.9 71.9 151
LCHo = 85.3 83.2 161
tchMi = 0.5 1.0 0.419
tchMo = 0.5 1.0 0.447

C Cyanblau

olv3Mi = 0.0 1.0 1.0
olv3Mo = 0.0 0.54 1.0
LCHMi = 58.6 54.3 236
LCHo = 63.4 77.9 246
tchMi = 0.5 1.0 0.656
tchMo = 0.5 1.0 0.683

M Magentarot

olv3Mi = 1.0 0.0 1.0
olv3Mo = 1.0 0.0 0.522
LCHMi = 48.1 75.7 354
LCHo = 56.0 96.7 0
tchMi = 0.5 1.0 0.982
tchMo = 0.5 1.0 1.0

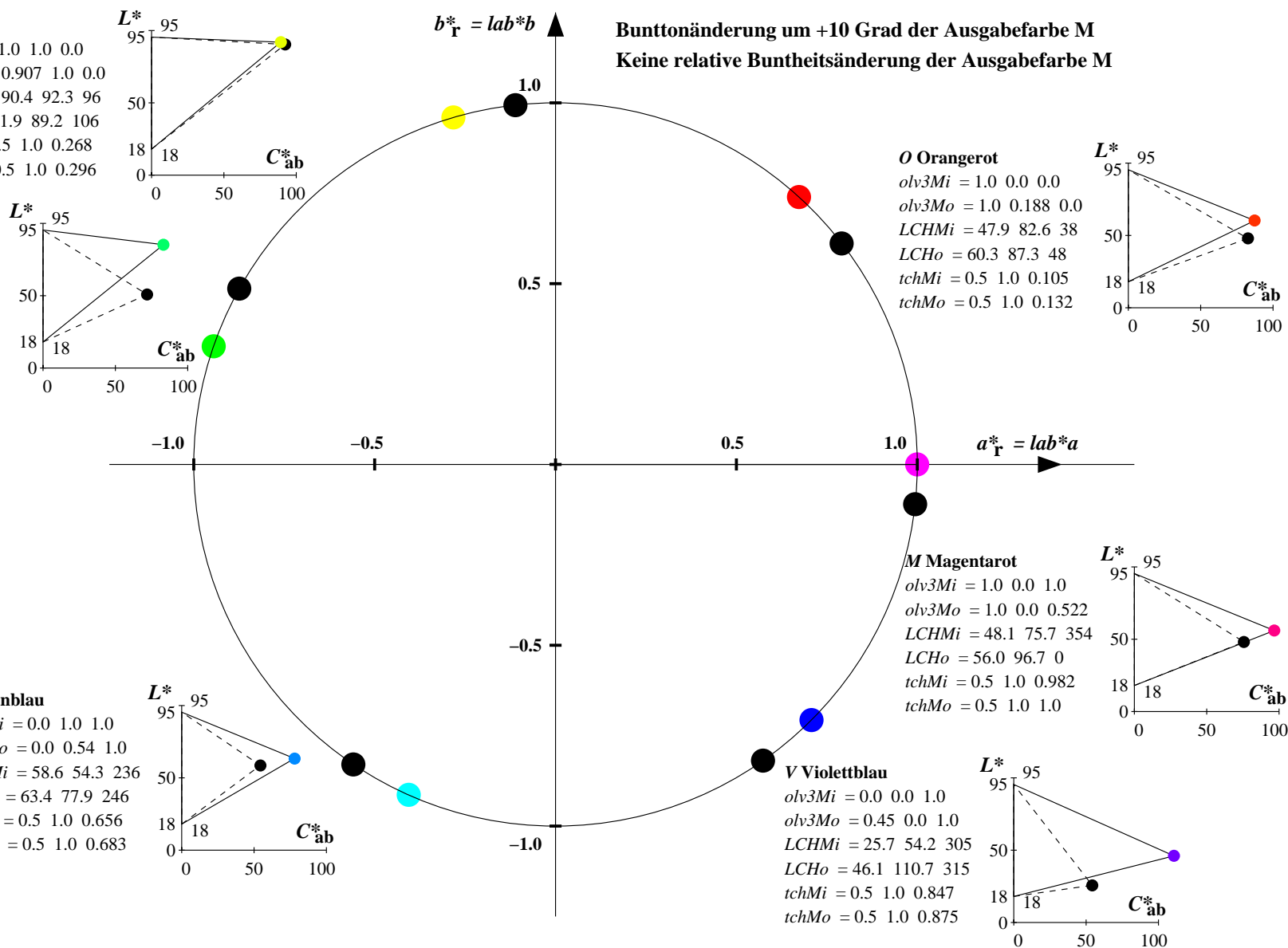
V Violettblau

olv3Mi = 0.0 0.0 1.0
olv3Mo = 0.45 0.0 1.0
LCHMi = 25.7 54.2 305
LCHo = 46.1 110.7 315
tchMi = 0.5 1.0 0.847
tchMo = 0.5 1.0 0.875

O Orangerot

olv3Mi = 1.0 0.0 0.0
olv3Mo = 1.0 0.188 0.0
LCHMi = 47.9 82.6 38
LCHo = 60.3 87.3 48
tchMi = 0.5 1.0 0.105
tchMo = 0.5 1.0 0.132

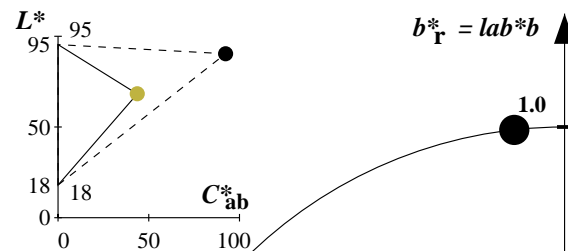
Bunttonänderung um +10 Grad der Ausgabefarbe M
Keine relative Buntheitsänderung der Ausgabefarbe M



Relatives CIELAB-Buntheitsdiagramm: ($a^*_r = lab^*a$, $b^*_r = lab^*b$) und **absolutes CIELAB Bunttondreiecks-Diagramm:** (L^* , C^*_{ab}) für Ein- (---) und Ausgabe (----) ORS18: Eingabe (i) Farbmatrik-Sytem; Sechs Bunttonwinkel des Farbgerätes: (37.7, 96.4, 150.9, 236.0, 305.0, 353.7); Vier Bunttonwinkel der Elementarfarben: (24.7, 91.8, 164.5, 271.4)
TLS18: Ausgabe (o) Farbmatrik-Sytem; Sechs Bunttonwinkel des Farbgerätes: (34.9, 103.3, 136.9, 196.5, 304.3, 328.1); Vier Bunttonwinkel der Elementarfarben: (25.5, 92.3, 162.2, 271.7)

Y Gelb

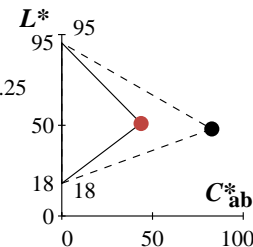
$olv3Mi = 1.0 \ 1.0 \ 0.0$
 $olv3Mo = 0.75 \ 0.7 \ 0.25$
 $LCHMi = 90.4 \ 92.3 \ 96$
 $LCHo = 68.2 \ 43.6 \ 96$
 $tchMi = 0.5 \ 1.0 \ 0.268$
 $tchMo = 0.5 \ 0.5 \ 0.268$



Keine Bunttonänderung der Ausgabefarbe M
Änderung auf halbe relative Buntheit der Ausgabefarbe M

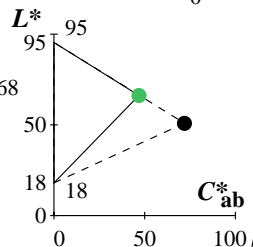
O Orangerot

$olv3Mi = 1.0 \ 0.0 \ 0.0$
 $olv3Mo = 0.75 \ 0.271 \ 0.25$
 $LCHMi = 47.9 \ 82.6 \ 38$
 $LCHo = 51.1 \ 43.6 \ 38$
 $tchMi = 0.5 \ 1.0 \ 0.105$
 $tchMo = 0.5 \ 0.5 \ 0.105$



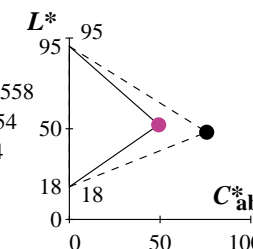
L Laubgrün

$olv3Mi = 0.0 \ 1.0 \ 0.0$
 $olv3Mo = 0.25 \ 0.75 \ 0.368$
 $LCHMi = 50.9 \ 71.9 \ 151$
 $LCHo = 66.2 \ 46.8 \ 151$
 $tchMi = 0.5 \ 1.0 \ 0.419$
 $tchMo = 0.5 \ 0.5 \ 0.419$



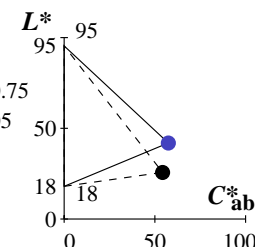
M Magentarot

$olv3Mi = 1.0 \ 0.0 \ 1.0$
 $olv3Mo = 0.75 \ 0.25 \ 0.558$
 $LCHMi = 48.1 \ 75.7 \ 354$
 $LCHo = 52.2 \ 49.2 \ 354$
 $tchMi = 0.5 \ 1.0 \ 0.982$
 $tchMo = 0.5 \ 0.5 \ 0.982$



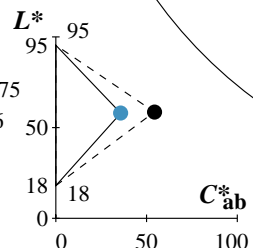
V Violettblau

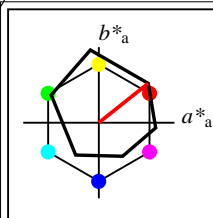
$olv3Mi = 0.0 \ 0.0 \ 1.0$
 $olv3Mo = 0.264 \ 0.25 \ 0.75$
 $LCHMi = 25.7 \ 54.2 \ 305$
 $LCHo = 41.9 \ 57.4 \ 305$
 $tchMi = 0.5 \ 1.0 \ 0.847$
 $tchMo = 0.5 \ 0.5 \ 0.847$



C Cyanblau

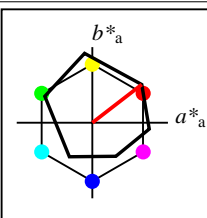
$olv3Mi = 0.0 \ 1.0 \ 1.0$
 $olv3Mo = 0.25 \ 0.567 \ 0.75$
 $LCHMi = 58.6 \ 54.3 \ 236$
 $LCHo = 57.9 \ 35.8 \ 236$
 $tchMi = 0.5 \ 1.0 \ 0.656$
 $tchMo = 0.5 \ 0.5 \ 0.656$





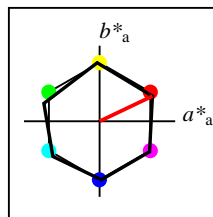
%Umfang
 $u^*_{rel} = 94$
%Regularität
 $g^*_{H,rel} = 58$
 $g^*_{C,rel} = 54$

ORS18	$L^*=L^*_a$	a^*_a	b^*_a	$C^*_{ab,a}$	$h^*_{ab,a}$
O _M	47.94	65.31	52.07	83.53	39
Y _M	90.37	-11.15	96.17	96.82	97
L _M	50.9	-62.96	36.71	72.89	150
C _M	58.62	-30.62	-42.74	52.59	234
V _M	25.72	31.45	-44.35	54.38	305
M _M	48.13	75.2	-6.79	75.51	355
N _M	18.01	0.5	-0.46	0.69	317
W _M	95.41	-0.98	4.76	4.86	102
R _{CIE}	39.92	58.74	27.99	65.07	25
J _{CIE}	81.26	-2.88	71.56	71.62	92
G _{CIE}	52.23	-42.41	13.6	44.55	162
B _{CIE}	30.57	1.41	-46.46	46.49	272



%Umfang
 $u^*_{rel} = 93$
%Regularität
 $g^*_{H,rel} = 57$
 $g^*_{C,rel} = 59$

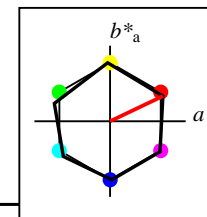
ORS18a; adaptierte CIELAB-Daten	$L^*=L^*_a$	a^*_a	b^*_a	$C^*_{ab,a}$	$h^*_{ab,a}$
O _{Ma}	47.94	65.39	50.52	82.63	38
Y _{Ma}	90.37	-10.26	91.75	92.32	96
L _{Ma}	50.9	-62.83	34.96	71.91	151
C _{Ma}	58.62	-30.34	-45.01	54.3	236
V _{Ma}	25.72	31.1	-44.4	54.22	305
M _{Ma}	48.13	75.28	-8.36	75.74	354
N _{Ma}	18.01	0.0	0.0	0.0	0
W _{Ma}	95.41	0.0	0.0	0.0	0
R _{CIE}	39.92	58.66	26.98	64.57	25
J _{CIE}	81.26	-2.16	67.76	67.79	92
G _{CIE}	52.23	-42.25	11.76	43.87	164
B _{CIE}	30.57	1.15	-46.84	46.86	271



%Umfang
 $u^*_{rel} = 100$
%Regularität
 $g^*_{H,rel} = 78$
 $g^*_{C,rel} = 100$

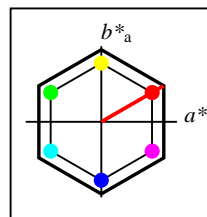
NRS18a; adaptierte CIELAB-Daten	$L^*=L^*_a$	a^*_a	b^*_a	$C^*_{ab,a}$	$h^*_{ab,a}$
O _{Ma}	56.71	69.87	33.29	77.4	25
Y _{Ma}	56.71	-3.1	77.34	77.4	92
L _{Ma}	56.71	-73.68	23.63	77.39	162
C _{Ma}	56.71	-61.81	-46.54	77.39	217
V _{Ma}	56.71	2.35	-77.34	77.39	272
M _{Ma}	56.71	66.07	-40.3	77.4	329
N _{Ma}	18.01	0.0	0.0	0.0	0
W _{Ma}	95.41	0.0	0.0	0.0	0
R _{CIE}	39.92	58.74	27.99	65.07	25
J _{CIE}	81.26	-2.88	71.56	71.62	92
G _{CIE}	52.23	-42.41	13.6	44.55	162
B _{CIE}	30.57	1.41	-46.46	46.49	272

Workflow-Wahlen
für Farbmuster:
1. keine Farbänderung
2. Buntton-Änderung
3. Buntheits-Änderung



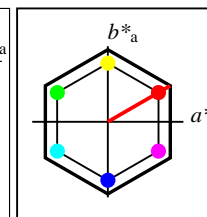
%Umfang
 $u^*_{rel} = 100$
%Regularität
 $g^*_{H,rel} = 78$
 $g^*_{C,rel} = 100$

NRS18a; adaptierte CIELAB-Daten	$L^*=L^*_a$	a^*_a	b^*_a	$C^*_{ab,a}$	$h^*_{ab,a}$
O _{Ma}	56.71	69.87	33.29	77.4	25
Y _{Ma}	56.71	-3.1	77.34	77.4	92
L _{Ma}	56.71	-73.68	23.63	77.39	162
C _{Ma}	56.71	-61.81	-46.54	77.39	217
V _{Ma}	56.71	2.35	-77.34	77.39	272
M _{Ma}	56.71	66.07	-40.3	77.4	329
N _{Ma}	18.01	0.0	0.0	0.0	0
W _{Ma}	95.41	0.0	0.0	0.0	0
R _{CIE}	39.92	58.74	27.99	65.07	25
J _{CIE}	81.26	-2.88	71.56	71.62	92
G _{CIE}	52.23	-42.41	13.6	44.55	162
B _{CIE}	30.57	1.41	-46.46	46.49	272



%Umfang
 $u^*_{rel} = 152$
%Regularität
 $g^*_{H,rel} = 100$
 $g^*_{C,rel} = 100$

NLS00a; adaptierte CIELAB-Daten	$L^*=L^*_a$	a^*_a	b^*_a	$C^*_{ab,a}$	$h^*_{ab,a}$
O _{Ma}	31.81	82.62	47.7	95.4	30
Y _{Ma}	63.61	0.0	95.4	95.4	90
L _{Ma}	31.81	-82.61	47.7	95.4	150
C _{Ma}	63.61	-82.61	-47.69	95.4	210
V _{Ma}	31.81	0.0	-95.39	95.4	270
M _{Ma}	63.61	82.62	-47.69	95.4	330
N _{Ma}	0.01	0.0	0.0	0.0	0
W _{Ma}	95.41	0.0	0.0	0.0	0
R _{CIE}	39.92	58.74	27.99	65.07	25
J _{CIE}	81.26	-2.88	71.56	71.62	92
G _{CIE}	52.23	-42.41	13.6	44.55	162
B _{CIE}	30.57	1.41	-46.46	46.49	272



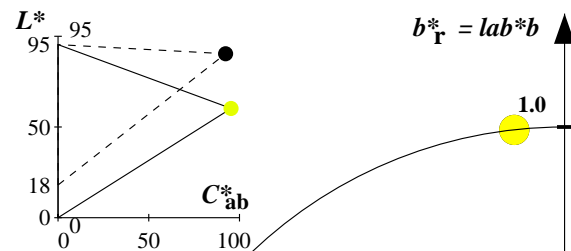
%Umfang
 $u^*_{rel} = 152$
%Regularität
 $g^*_{H,rel} = 100$
 $g^*_{C,rel} = 100$

NLS00	$L^*=L^*_a$	a^*_a	b^*_a	$C^*_{ab,a}$	$h^*_{ab,a}$
O _M	31.81	82.62	47.7	95.4	30
Y _M	63.61	0.0	95.4	95.4	90
L _M	31.81	-82.61	47.7	95.4	150
C _M	63.61	-82.61	-47.69	95.4	210
V _M	31.81	0.0	-95.39	95.4	270
M _M	63.61	82.62	-47.69	95.4	330
N _M	0.01	0.0	0.0	0.0	0
W _M	95.41	0.0	0.0	0.0	0
R _{CIE}	39.92	58.74	27.99	65.07	25
J _{CIE}	81.26	-2.88	71.56	71.62	92
G _{CIE}	52.23	-42.41	13.6	44.55	162
B _{CIE}	30.57	1.41	-46.46	46.49	272

Relatives CIELAB-Buntheitsdiagramm: ($a_R^* = lab^*a$, $b_R^* = lab^*b$) und **absolutes CIELAB Bunttondreiecks-Diagramm:** (L^* , C_{ab}^*) für Ein- (---) und Ausgabe (----) ORS18: Eingabe (i) Farbmatrik-Sytem; Sechs Bunttonwinkel des Farbgerätes: (37.7, 96.4, 150.9, 236.0, 305.0, 353.7); Vier Bunttonwinkel der Elementarfarben: (24.7, 91.8, 164.5, 271.4)
NLS00: Ausgabe (o) Farbmatrik-Sytem; Sechs Bunttonwinkel des Farbgerätes: (30.0, 90.0, 150.0, 210.0, 270.0, 330.0); Vier Bunttonwinkel der Elementarfarben: (25.5, 92.3, 162.2, 271.7)

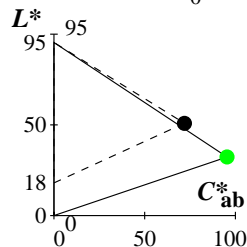
Y Gelb

$olv3Mi = 1.0 \ 1.0 \ 0.0$
 $olv3Mo = 0.894 \ 1.0 \ 0.0$
 $LCHMi = 90.4 \ 92.3 \ 96$
 $LCHo = 60.2 \ 95.4 \ 96$
 $tchMi = 0.5 \ 1.0 \ 0.268$
 $tchMo = 0.5 \ 1.0 \ 0.268$



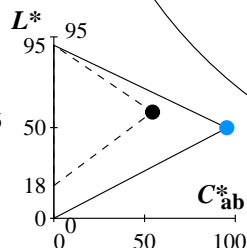
L Laubgrün

$olv3Mi = 0.0 \ 1.0 \ 0.0$
 $olv3Mo = 0.0 \ 1.0 \ 0.015$
 $LCHMi = 50.9 \ 71.9 \ 151$
 $LCHo = 32.3 \ 95.4 \ 151$
 $tchMi = 0.5 \ 1.0 \ 0.419$
 $tchMo = 0.5 \ 1.0 \ 0.419$



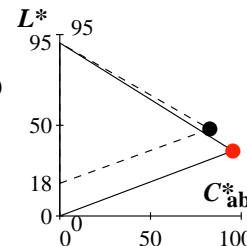
C Cyanblau

$olv3Mi = 0.0 \ 1.0 \ 1.0$
 $olv3Mo = 0.0 \ 0.566 \ 1.0$
 $LCHMi = 58.6 \ 54.3 \ 236$
 $LCHo = 49.8 \ 95.4 \ 236$
 $tchMi = 0.5 \ 1.0 \ 0.656$
 $tchMo = 0.5 \ 1.0 \ 0.656$



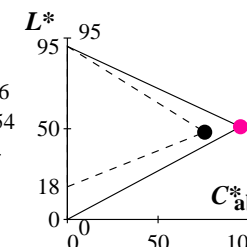
O Orangerot

$olv3Mi = 1.0 \ 0.0 \ 0.0$
 $olv3Mo = 1.0 \ 0.128 \ 0.0$
 $LCHMi = 47.9 \ 82.6 \ 38$
 $LCHo = 35.9 \ 95.4 \ 38$
 $tchMi = 0.5 \ 1.0 \ 0.105$
 $tchMo = 0.5 \ 1.0 \ 0.105$



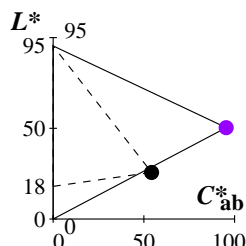
M Magentarot

$olv3Mi = 1.0 \ 0.0 \ 1.0$
 $olv3Mo = 1.0 \ 0.0 \ 0.606$
 $LCHMi = 48.1 \ 75.7 \ 354$
 $LCHo = 51.1 \ 95.4 \ 354$
 $tchMi = 0.5 \ 1.0 \ 0.982$
 $tchMo = 0.5 \ 1.0 \ 0.982$



V Violettblau

$olv3Mi = 0.0 \ 0.0 \ 1.0$
 $olv3Mo = 0.583 \ 0.0 \ 1.0$
 $LCHMi = 25.7 \ 54.2 \ 305$
 $LCHo = 50.4 \ 95.4 \ 305$
 $tchMi = 0.5 \ 1.0 \ 0.847$
 $tchMo = 0.5 \ 1.0 \ 0.847$



Keine Bunttonänderung der Ausgabefarbe M
Keine relative Buntheitsänderung der Ausgabefarbe M

Siehe ähnliche Dateien: <http://www.ps.bam.de/YG60/>
Technische Information: <http://www.ps.bam.de> Version 2.1, io=1,1, CIELAB

BAM-Registrierung: 20061101-YG60/10L/L60G00FP.PS/.PDF BAM-Material: Code=rh4ta
Anwendung für Beurteilung und Messung von Drucker- oder Monitorsystemen
/YG60/ Form: 18/8, Serie: 1/1, Seite: 18 Seite 18/32

Relatives CIELAB-Buntheitsdiagramm: ($a^*_r = lab^*a$, $b^*_r = lab^*b$) und **absolutes CIELAB Bunttondreiecks-Diagramm:** (L^* , C^*_{ab}) für Ein- (---) und Ausgabe (----) ORS18: Eingabe (i) Farbmatrik-Sytem; Sechs Bunttonwinkel des Farbgerätes: (37.7, 96.4, 150.9, 236.0, 305.0, 353.7); Vier Bunttonwinkel der Elementarfarben: (24.7, 91.8, 164.5, 271.4)
NLS00: Ausgabe (o) Farbmatrik-Sytem; Sechs Bunttonwinkel des Farbgerätes: (30.0, 90.0, 150.0, 210.0, 270.0, 330.0); Vier Bunttonwinkel der Elementarfarben: (25.5, 92.3, 162.2, 271.7)

Y Gelb

$olv3Mi = 1.0 \ 1.0 \ 0.0$
 $olv3Mo = 0.727 \ 1.0 \ 0.0$
 $LCHMi = 90.4 \ 92.3 \ 96$
 $LCHo = 54.9 \ 95.4 \ 106$
 $tchMi = 0.5 \ 1.0 \ 0.268$
 $tchMo = 0.5 \ 1.0 \ 0.296$

L Laubgrün

$olv3Mi = 0.0 \ 1.0 \ 0.0$
 $olv3Mo = 0.0 \ 1.0 \ 0.182$
 $LCHMi = 50.9 \ 71.9 \ 151$
 $LCHo = 37.6 \ 95.4 \ 161$
 $tchMi = 0.5 \ 1.0 \ 0.419$
 $tchMo = 0.5 \ 1.0 \ 0.447$

C Cyanblau

$olv3Mi = 0.0 \ 1.0 \ 1.0$
 $olv3Mo = 0.0 \ 0.4 \ 1.0$
 $LCHMi = 58.6 \ 54.3 \ 236$
 $LCHo = 44.5 \ 95.4 \ 246$
 $tchMi = 0.5 \ 1.0 \ 0.656$
 $tchMo = 0.5 \ 1.0 \ 0.683$

O Orangerot

$olv3Mi = 1.0 \ 0.0 \ 0.0$
 $olv3Mo = 1.0 \ 0.295 \ 0.0$
 $LCHMi = 47.9 \ 82.6 \ 38$
 $LCHo = 41.2 \ 95.4 \ 48$
 $tchMi = 0.5 \ 1.0 \ 0.105$
 $tchMo = 0.5 \ 1.0 \ 0.132$

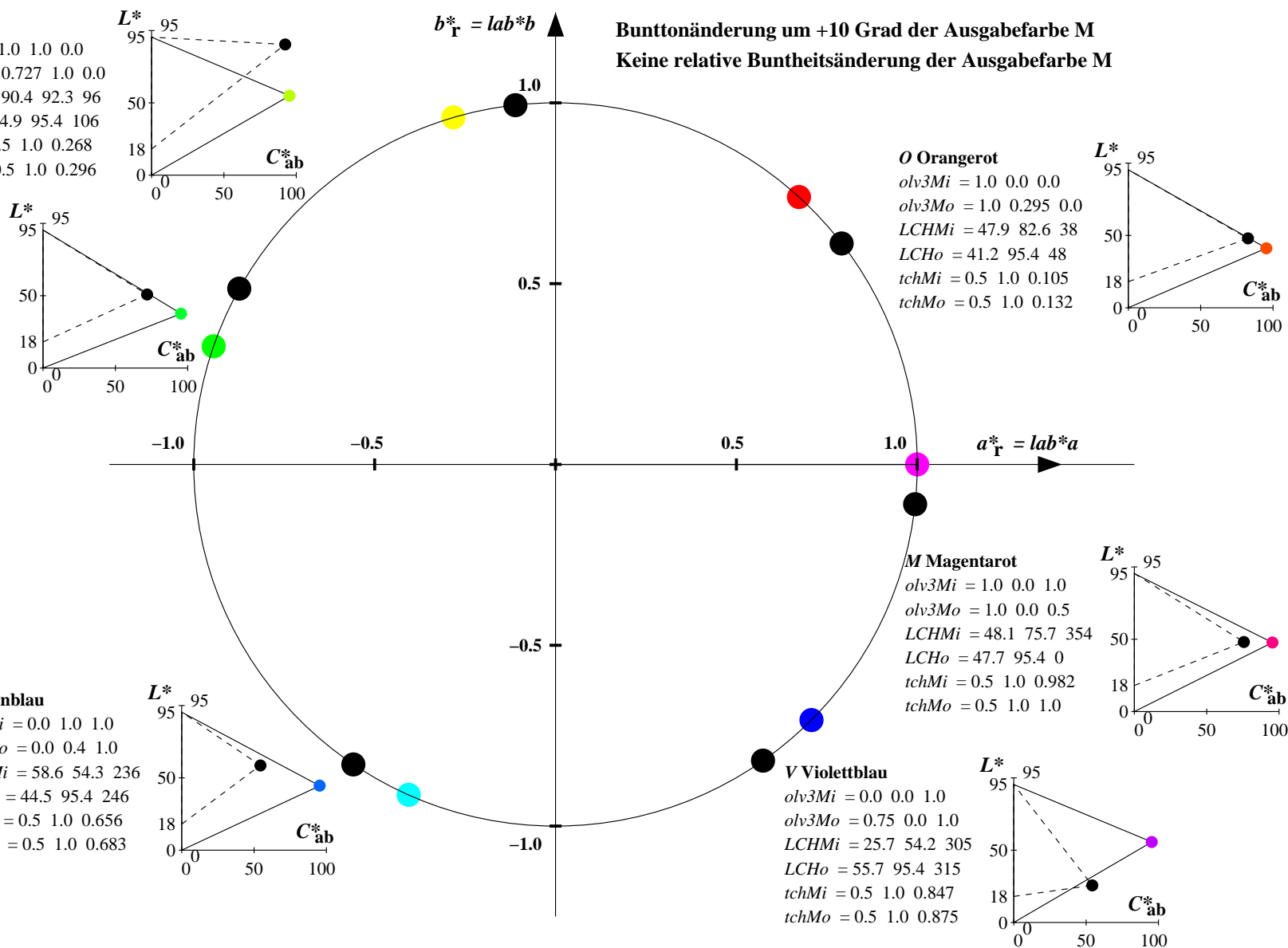
M Magentarot

$olv3Mi = 1.0 \ 0.0 \ 1.0$
 $olv3Mo = 1.0 \ 0.0 \ 0.5$
 $LCHMi = 48.1 \ 75.7 \ 354$
 $LCHo = 47.7 \ 95.4 \ 0$
 $tchMi = 0.5 \ 1.0 \ 0.982$
 $tchMo = 0.5 \ 1.0 \ 1.0$

V Violettblau

$olv3Mi = 0.0 \ 0.0 \ 1.0$
 $olv3Mo = 0.75 \ 0.0 \ 1.0$
 $LCHMi = 25.7 \ 54.2 \ 305$
 $LCHo = 55.7 \ 95.4 \ 315$
 $tchMi = 0.5 \ 1.0 \ 0.847$
 $tchMo = 0.5 \ 1.0 \ 0.875$

Bunttonänderung um +10 Grad der Ausgabefarbe M
Keine relative Buntheitsänderung der Ausgabefarbe M



Relatives CIELAB-Buntheitsdiagramm: ($a_R^* = lab^*a$, $b_R^* = lab^*b$) und **absolutes CIELAB Bunttondreiecks-Diagramm:** (L^* , C_{ab}^*) für Ein- (---) und Ausgabe (----) ORS18: Eingabe (i) Farbmatrik-Sytem; Sechs Bunttonwinkel des Farbgerätes: (37.7, 96.4, 150.9, 236.0, 305.0, 353.7); Vier Bunttonwinkel der Elementarfarben: (24.7, 91.8, 164.5, 271.4)
NLS00: Ausgabe (o) Farbmatrik-Sytem; Sechs Bunttonwinkel des Farbgerätes: (30.0, 90.0, 150.0, 210.0, 270.0, 330.0); Vier Bunttonwinkel der Elementarfarben: (25.5, 92.3, 162.2, 271.7)

Y Gelb

$olv3Mi = 1.0 \ 1.0 \ 0.0$
 $olv3Mo = 0.697 \ 0.75 \ 0.25$
 $LCHMi = 90.4 \ 92.3 \ 96$
 $LCHo = 54.0 \ 47.7 \ 96$
 $tchMi = 0.5 \ 1.0 \ 0.268$
 $tchMo = 0.5 \ 0.5 \ 0.268$

L Laubgrün

$olv3Mi = 0.0 \ 1.0 \ 0.0$
 $olv3Mo = 0.25 \ 0.75 \ 0.258$
 $LCHMi = 50.9 \ 71.9 \ 151$
 $LCHo = 40.0 \ 47.7 \ 151$
 $tchMi = 0.5 \ 1.0 \ 0.419$
 $tchMo = 0.5 \ 0.5 \ 0.419$

C Cyanblau

$olv3Mi = 0.0 \ 1.0 \ 1.0$
 $olv3Mo = 0.25 \ 0.533 \ 0.75$
 $LCHMi = 58.6 \ 54.3 \ 236$
 $LCHo = 48.8 \ 47.7 \ 236$
 $tchMi = 0.5 \ 1.0 \ 0.656$
 $tchMo = 0.5 \ 0.5 \ 0.656$

O Orangerot

$olv3Mi = 1.0 \ 0.0 \ 0.0$
 $olv3Mo = 0.75 \ 0.314 \ 0.25$
 $LCHMi = 47.9 \ 82.6 \ 38$
 $LCHo = 41.8 \ 47.7 \ 38$
 $tchMi = 0.5 \ 1.0 \ 0.105$
 $tchMo = 0.5 \ 0.5 \ 0.105$

M Magentarot

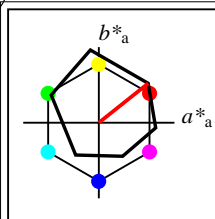
$olv3Mi = 1.0 \ 0.0 \ 1.0$
 $olv3Mo = 0.75 \ 0.25 \ 0.553$
 $LCHMi = 48.1 \ 75.7 \ 354$
 $LCHo = 49.4 \ 47.7 \ 354$
 $tchMi = 0.5 \ 1.0 \ 0.982$
 $tchMo = 0.5 \ 0.5 \ 0.982$

V Violettblau

$olv3Mi = 0.0 \ 0.0 \ 1.0$
 $olv3Mo = 0.542 \ 0.25 \ 0.75$
 $LCHMi = 25.7 \ 54.2 \ 305$
 $LCHo = 49.0 \ 47.7 \ 305$
 $tchMi = 0.5 \ 1.0 \ 0.847$
 $tchMo = 0.5 \ 0.5 \ 0.847$

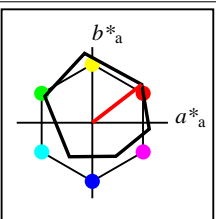
Keine Bunttonänderung der Ausgabefarbe M

Änderung auf halbe relative Buntheit der Ausgabefarbe M



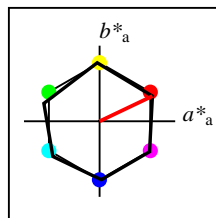
%Umfang
 $u^*_{rel} = 94$
%Regularität
 $g^*_{H,rel} = 58$
 $g^*_{C,rel} = 54$

ORS18	$L^*=L^*_a$	a^*_a	b^*_a	$C^*_{ab,a}$	$h^*_{ab,a}$
O _M	47.94	65.31	52.07	83.53	39
Y _M	90.37	-11.15	96.17	96.82	97
L _M	50.9	-62.96	36.71	72.89	150
C _M	58.62	-30.62	-42.74	52.59	234
V _M	25.72	31.45	-44.35	54.38	305
M _M	48.13	75.2	-6.79	75.51	355
N _M	18.01	0.5	-0.46	0.69	317
W _M	95.41	-0.98	4.76	4.86	102
R _{CIE}	39.92	58.74	27.99	65.07	25
J _{CIE}	81.26	-2.88	71.56	71.62	92
G _{CIE}	52.23	-42.41	13.6	44.55	162
B _{CIE}	30.57	1.41	-46.46	46.49	272



%Umfang
 $u^*_{rel} = 93$
%Regularität
 $g^*_{H,rel} = 57$
 $g^*_{C,rel} = 59$

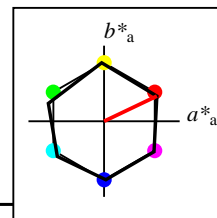
ORS18a; adaptierte CIELAB-Daten	$L^*=L^*_a$	a^*_a	b^*_a	$C^*_{ab,a}$	$h^*_{ab,a}$
O _{Ma}	47.94	65.39	50.52	82.63	38
Y _{Ma}	90.37	-10.26	91.75	92.32	96
L _{Ma}	50.9	-62.83	34.96	71.91	151
C _{Ma}	58.62	-30.34	-45.01	54.3	236
V _{Ma}	25.72	31.1	-44.4	54.22	305
M _{Ma}	48.13	75.28	-8.36	75.74	354
N _{Ma}	18.01	0.0	0.0	0.0	0
W _{Ma}	95.41	0.0	0.0	0.0	0
R _{CIE}	39.92	58.66	26.98	64.57	25
J _{CIE}	81.26	-2.16	67.76	67.79	92
G _{CIE}	52.23	-42.25	11.76	43.87	164
B _{CIE}	30.57	1.15	-46.84	46.86	271



%Umfang
 $u^*_{rel} = 100$
%Regularität
 $g^*_{H,rel} = 78$
 $g^*_{C,rel} = 100$

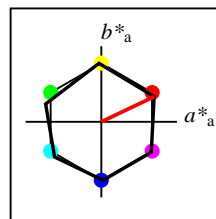
NRS18a; adaptierte CIELAB-Daten	$L^*=L^*_a$	a^*_a	b^*_a	$C^*_{ab,a}$	$h^*_{ab,a}$
O _{Ma}	56.71	69.87	33.29	77.4	25
Y _{Ma}	56.71	-3.1	77.34	77.4	92
L _{Ma}	56.71	-73.68	23.63	77.39	162
C _{Ma}	56.71	-61.81	-46.54	77.39	217
V _{Ma}	56.71	2.35	-77.34	77.39	272
M _{Ma}	56.71	66.07	-40.3	77.4	329
N _{Ma}	18.01	0.0	0.0	0.0	0
W _{Ma}	95.41	0.0	0.0	0.0	0
R _{CIE}	39.92	58.74	27.99	65.07	25
J _{CIE}	81.26	-2.88	71.56	71.62	92
G _{CIE}	52.23	-42.41	13.6	44.55	162
B _{CIE}	30.57	1.41	-46.46	46.49	272

Workflow-Wahlen
für Farbmuster:
1. keine Farbänderung
2. Buntton-Änderung
3. Buntheits-Änderung



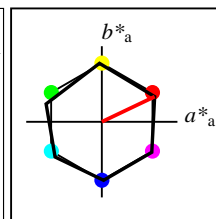
%Umfang
 $u^*_{rel} = 100$
%Regularität
 $g^*_{H,rel} = 78$
 $g^*_{C,rel} = 100$

NRS18a; adaptierte CIELAB-Daten	$L^*=L^*_a$	a^*_a	b^*_a	$C^*_{ab,a}$	$h^*_{ab,a}$
O _{Ma}	56.71	69.87	33.29	77.4	25
Y _{Ma}	56.71	-3.1	77.34	77.4	92
L _{Ma}	56.71	-73.68	23.63	77.39	162
C _{Ma}	56.71	-61.81	-46.54	77.39	217
V _{Ma}	56.71	2.35	-77.34	77.39	272
M _{Ma}	56.71	66.07	-40.3	77.4	329
N _{Ma}	18.01	0.0	0.0	0.0	0
W _{Ma}	95.41	0.0	0.0	0.0	0
R _{CIE}	39.92	58.74	27.99	65.07	25
J _{CIE}	81.26	-2.88	71.56	71.62	92
G _{CIE}	52.23	-42.41	13.6	44.55	162
B _{CIE}	30.57	1.41	-46.46	46.49	272



%Umfang
 $u^*_{rel} = 100$
%Regularität
 $g^*_{H,rel} = 78$
 $g^*_{C,rel} = 100$

NRS18a; adaptierte CIELAB-Daten	$L^*=L^*_a$	a^*_a	b^*_a	$C^*_{ab,a}$	$h^*_{ab,a}$
O _{Ma}	56.71	69.87	33.29	77.4	25
Y _{Ma}	56.71	-3.1	77.34	77.4	92
L _{Ma}	56.71	-73.68	23.63	77.39	162
C _{Ma}	56.71	-61.81	-46.54	77.39	217
V _{Ma}	56.71	2.35	-77.34	77.39	272
M _{Ma}	56.71	66.07	-40.3	77.4	329
N _{Ma}	18.01	0.0	0.0	0.0	0
W _{Ma}	95.41	0.0	0.0	0.0	0
R _{CIE}	39.92	58.74	27.99	65.07	25
J _{CIE}	81.26	-2.88	71.56	71.62	92
G _{CIE}	52.23	-42.41	13.6	44.55	162
B _{CIE}	30.57	1.41	-46.46	46.49	272



%Umfang
 $u^*_{rel} = 100$
%Regularität
 $g^*_{H,rel} = 78$
 $g^*_{C,rel} = 100$

NRS18	$L^*=L^*_a$	a^*_a	b^*_a	$C^*_{ab,a}$	$h^*_{ab,a}$
O _M	56.71	69.87	33.29	77.4	25
Y _M	56.71	-3.1	77.34	77.4	92
L _M	56.71	-73.68	23.63	77.39	162
C _M	56.71	-61.81	-46.54	77.39	217
V _M	56.71	2.35	-77.34	77.39	272
M _M	56.71	66.07	-40.3	77.4	329
N _M	18.01	0.0	0.0	0.0	0
W _M	95.41	0.0	0.0	0.0	0
R _{CIE}	39.92	58.74	27.99	65.07	25
J _{CIE}	81.26	-2.88	71.56	71.62	92
G _{CIE}	52.23	-42.41	13.6	44.55	162
B _{CIE}	30.57	1.41	-46.46	46.49	272

Relatives CIELAB-Buntheitsdiagramm: ($a_R^* = lab^*a$, $b_R^* = lab^*b$) und absolutes CIELAB Bunttondreiecks-Diagramm: (L^* , C_{ab}^*) für Ein- (---) und Ausgabe (----) ORS18: Eingabe (i) Farbmatrik-Sytem; Sechs Bunttonwinkel des Farbgerätes: (37.7, 96.4, 150.9, 236.0, 305.0, 353.7); Vier Bunttonwinkel der Elementarfarben: (24.7, 91.8, 164.5, 271.4)
NRS18: Ausgabe (o) Farbmatrik-Sytem; Sechs Bunttonwinkel des Farbgerätes: (25.5, 92.3, 162.2, 217.0, 271.7, 328.6); Vier Bunttonwinkel der Elementarfarben: (25.5, 92.3, 162.2, 271.7)

Y Gelb

$olv3Mi = 1.0 \ 1.0 \ 0.0$
 $olv3Mo = 0.942 \ 1.0 \ 0.0$
 $LCHMi = 90.4 \ 92.3 \ 96$
 $LCHo = 56.7 \ 77.4 \ 96$
 $tchMi = 0.5 \ 1.0 \ 0.268$
 $tchMo = 0.5 \ 1.0 \ 0.268$

L Laubgrün

$olv3Mi = 0.0 \ 1.0 \ 0.0$
 $olv3Mo = 0.162 \ 1.0 \ 0.0$
 $LCHMi = 50.9 \ 71.9 \ 151$
 $LCHo = 56.7 \ 77.4 \ 151$
 $tchMi = 0.5 \ 1.0 \ 0.419$
 $tchMo = 0.5 \ 1.0 \ 0.419$

C Cyanblau

$olv3Mi = 0.0 \ 1.0 \ 1.0$
 $olv3Mo = 0.0 \ 0.652 \ 1.0$
 $LCHMi = 58.6 \ 54.3 \ 236$
 $LCHo = 56.7 \ 77.4 \ 236$
 $tchMi = 0.5 \ 1.0 \ 0.656$
 $tchMo = 0.5 \ 1.0 \ 0.656$

V Violettblau

$olv3Mi = 0.0 \ 0.0 \ 1.0$
 $olv3Mo = 0.585 \ 0.0 \ 1.0$
 $LCHMi = 25.7 \ 54.2 \ 305$
 $LCHo = 56.7 \ 77.4 \ 305$
 $tchMi = 0.5 \ 1.0 \ 0.847$
 $tchMo = 0.5 \ 1.0 \ 0.847$

M Magentarot

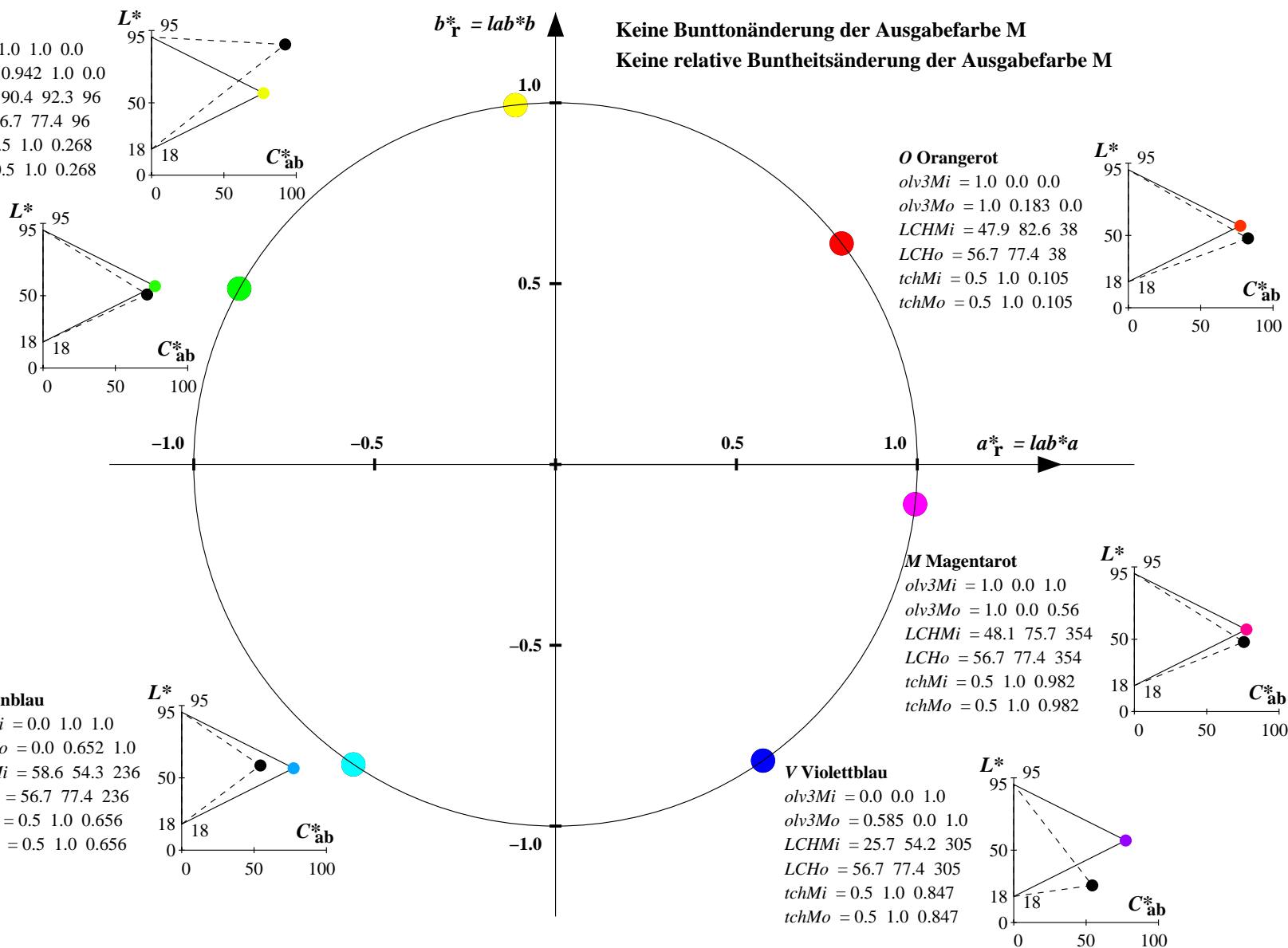
$olv3Mi = 1.0 \ 0.0 \ 1.0$
 $olv3Mo = 1.0 \ 0.0 \ 0.56$
 $LCHMi = 48.1 \ 75.7 \ 354$
 $LCHo = 56.7 \ 77.4 \ 354$
 $tchMi = 0.5 \ 1.0 \ 0.982$
 $tchMo = 0.5 \ 1.0 \ 0.982$

O Orangerot

$olv3Mi = 1.0 \ 0.0 \ 0.0$
 $olv3Mo = 1.0 \ 0.183 \ 0.0$
 $LCHMi = 47.9 \ 82.6 \ 38$
 $LCHo = 56.7 \ 77.4 \ 38$
 $tchMi = 0.5 \ 1.0 \ 0.105$
 $tchMo = 0.5 \ 1.0 \ 0.105$

Keine Bunttonänderung der Ausgabefarbe M

Keine relative Buntheitsänderung der Ausgabefarbe M



Relatives CIELAB-Buntheitsdiagramm: ($a_R^* = lab^*a$, $b_R^* = lab^*b$) und absolutes CIELAB Bunttondreiecks-Diagramm: (L^* , C_{ab}^*) für Ein- (---) und Ausgabe (----) ORS18: Eingabe (i) Farbmatrik-Sytem; Sechs Bunttonwinkel des Farbgerätes: (37.7, 96.4, 150.9, 236.0, 305.0, 353.7); Vier Bunttonwinkel der Elementarfarben: (24.7, 91.8, 164.5, 271.4)
NRS18: Ausgabe (o) Farbmatrik-Sytem; Sechs Bunttonwinkel des Farbgerätes: (25.5, 92.3, 162.2, 217.0, 271.7, 328.6); Vier Bunttonwinkel der Elementarfarben: (25.5, 92.3, 162.2, 271.7)

Y Gelb

olv3Mi = 1.0 1.0 0.0
olv3Mo = 0.798 1.0 0.0
LCHMi = 90.4 92.3 96
LCHo = 56.7 77.4 106
tchMi = 0.5 1.0 0.268
tchMo = 0.5 1.0 0.296

L Laubgrün

olv3Mi = 0.0 1.0 0.0
olv3Mo = 0.019 1.0 0.0
LCHMi = 50.9 71.9 151
LCHo = 56.7 77.4 161
tchMi = 0.5 1.0 0.419
tchMo = 0.5 1.0 0.447

C Cyanblau

olv3Mi = 0.0 1.0 1.0
olv3Mo = 0.0 0.47 1.0
LCHMi = 58.6 54.3 236
LCHo = 56.7 77.4 246
tchMi = 0.5 1.0 0.656
tchMo = 0.5 1.0 0.683

O Orangerot

olv3Mi = 1.0 0.0 0.0
olv3Mo = 1.0 0.333 0.0
LCHMi = 47.9 82.6 38
LCHo = 56.7 77.4 48
tchMi = 0.5 1.0 0.105
tchMo = 0.5 1.0 0.132

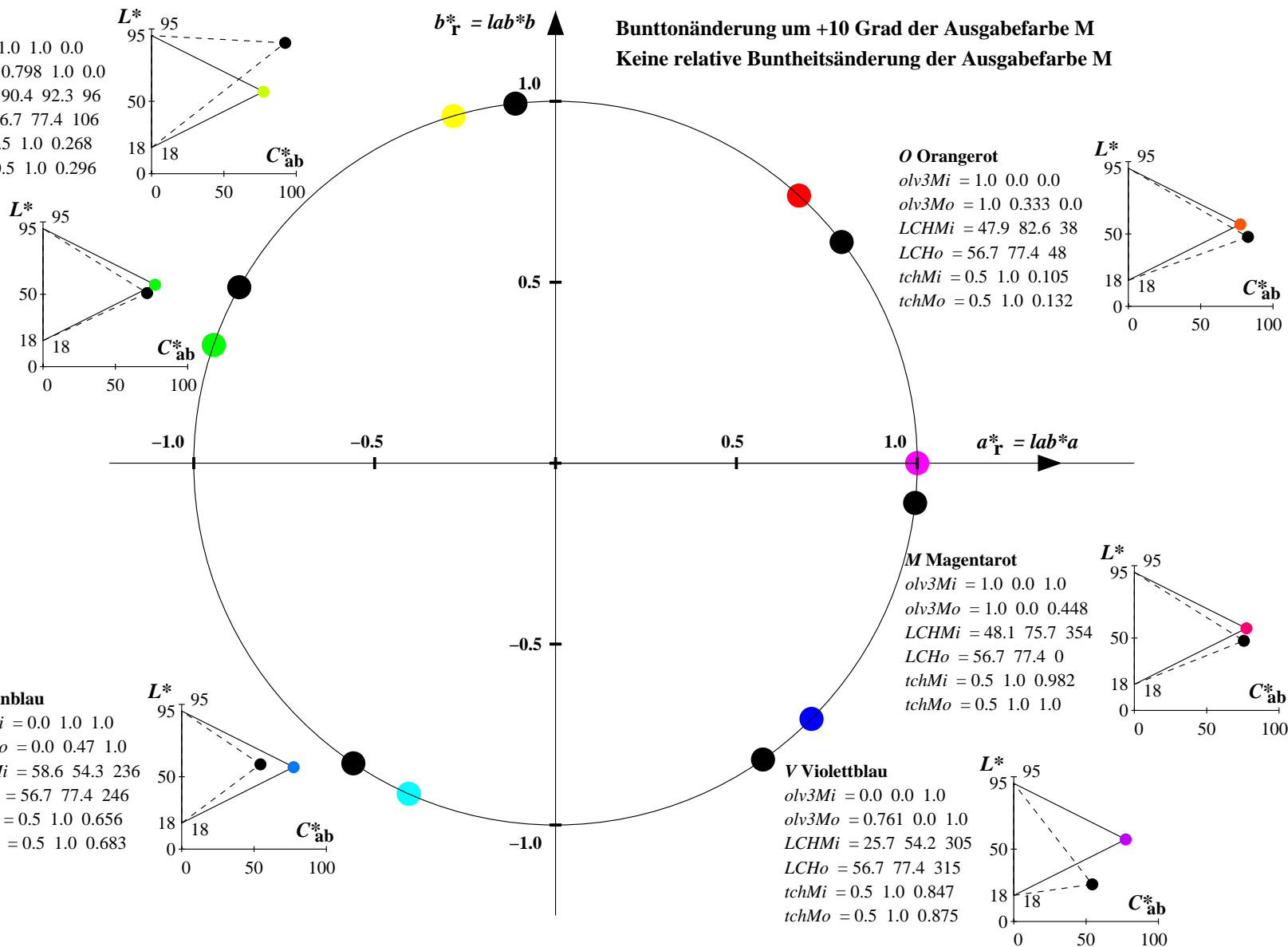
M Magentarot

olv3Mi = 1.0 0.0 1.0
olv3Mo = 1.0 0.0 0.448
LCHMi = 48.1 75.7 354
LCHo = 56.7 77.4 0
tchMi = 0.5 1.0 0.982
tchMo = 0.5 1.0 1.0

V Violettblau

olv3Mi = 0.0 0.0 1.0
olv3Mo = 0.761 0.0 1.0
LCHMi = 25.7 54.2 305
LCHo = 56.7 77.4 315
tchMi = 0.5 1.0 0.847
tchMo = 0.5 1.0 0.875

Bunttonänderung um +10 Grad der Ausgabefarbe M
Keine relative Buntheitsänderung der Ausgabefarbe M



Relatives CIELAB-Buntheitsdiagramm: ($a^*_r = lab^*a$, $b^*_r = lab^*b$) und absolutes CIELAB Bunttondreiecks-Diagramm: (L^* , C^*_{ab}) für Ein- (---) und Ausgabe (----) ORS18: Eingabe (i) Farbmatrik-Sytem; Sechs Bunttonwinkel des Farbgerätes: (37.7, 96.4, 150.9, 236.0, 305.0, 353.7); Vier Bunttonwinkel der Elementarfarben: (24.7, 91.8, 164.5, 271.4) NRS18: Ausgabe (o) Farbmatrik-Sytem; Sechs Bunttonwinkel des Farbgerätes: (25.5, 92.3, 162.2, 217.0, 271.7, 328.6); Vier Bunttonwinkel der Elementarfarben: (25.5, 92.3, 162.2, 271.7)

Y Gelb

$olv3Mi = 1.0 \ 1.0 \ 0.0$
 $olv3Mo = 0.721 \ 0.75 \ 0.25$
 $LCHMi = 90.4 \ 92.3 \ 96$
 $LCHo = 52.2 \ 38.7 \ 96$
 $tchMi = 0.5 \ 1.0 \ 0.268$
 $tchMo = 0.5 \ 0.5 \ 0.268$

L Laubgrün

$olv3Mi = 0.0 \ 1.0 \ 0.0$
 $olv3Mo = 0.331 \ 0.75 \ 0.25$
 $LCHMi = 50.9 \ 71.9 \ 151$
 $LCHo = 52.2 \ 38.7 \ 151$
 $tchMi = 0.5 \ 1.0 \ 0.419$
 $tchMo = 0.5 \ 0.5 \ 0.419$

C Cyanblau

$olv3Mi = 0.0 \ 1.0 \ 1.0$
 $olv3Mo = 0.25 \ 0.576 \ 0.75$
 $LCHMi = 58.6 \ 54.3 \ 236$
 $LCHo = 52.2 \ 38.7 \ 236$
 $tchMi = 0.5 \ 1.0 \ 0.656$
 $tchMo = 0.5 \ 0.5 \ 0.656$

O Orangerot

$olv3Mi = 1.0 \ 0.0 \ 0.0$
 $olv3Mo = 0.75 \ 0.341 \ 0.25$
 $LCHMi = 47.9 \ 82.6 \ 38$
 $LCHo = 52.2 \ 38.7 \ 38$
 $tchMi = 0.5 \ 1.0 \ 0.105$
 $tchMo = 0.5 \ 0.5 \ 0.105$

M Magentarot

$olv3Mi = 1.0 \ 0.0 \ 1.0$
 $olv3Mo = 0.75 \ 0.25 \ 0.53$
 $LCHMi = 48.1 \ 75.7 \ 354$
 $LCHo = 52.2 \ 38.7 \ 354$
 $tchMi = 0.5 \ 1.0 \ 0.982$
 $tchMo = 0.5 \ 0.5 \ 0.982$

V Violettblau

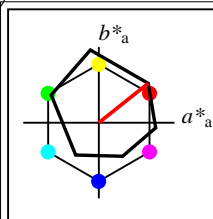
$olv3Mi = 0.0 \ 0.0 \ 1.0$
 $olv3Mo = 0.542 \ 0.25 \ 0.75$
 $LCHMi = 25.7 \ 54.2 \ 305$
 $LCHo = 52.2 \ 38.7 \ 305$
 $tchMi = 0.5 \ 1.0 \ 0.847$
 $tchMo = 0.5 \ 0.5 \ 0.847$

Keine Bunttonänderung der Ausgabefarbe M

Änderung auf halbe relative Buntheit der Ausgabefarbe M

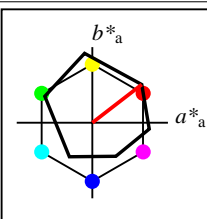
Siehe ähnliche Dateien: <http://www.ps.bam.de/YG60/>
Technische Information: <http://www.ps.bam.de> Version 2.1, io=1,1, CIELAB

BAM-Registrierung: 20061101-YG60/10L/L60G00FP.PS/.PDF BAM-Material: Code=rh4ta
Anwendung für Beurteilung und Messung von Drucker- oder Monitorsystemen
/YG60/ Form: 248, Serie: 1/1, Seite: 24 Seite 24/32



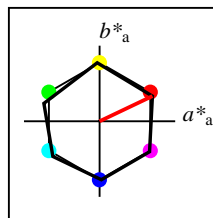
%Umfang
 $u^*_{rel} = 94$
%Regularität
 $g^*_{H,rel} = 58$
 $g^*_{C,rel} = 54$

ORS18	$L^*=L^*_a$	a^*_a	b^*_a	$C^*_{ab,a}$	$h^*_{ab,a}$
O _M	47.94	65.31	52.07	83.53	39
Y _M	90.37	-11.15	96.17	96.82	97
L _M	50.9	-62.96	36.71	72.89	150
C _M	58.62	-30.62	-42.74	52.59	234
V _M	25.72	31.45	-44.35	54.38	305
M _M	48.13	75.2	-6.79	75.51	355
N _M	18.01	0.5	-0.46	0.69	317
W _M	95.41	-0.98	4.76	4.86	102
R _{CIE}	39.92	58.74	27.99	65.07	25
J _{CIE}	81.26	-2.88	71.56	71.62	92
G _{CIE}	52.23	-42.41	13.6	44.55	162
B _{CIE}	30.57	1.41	-46.46	46.49	272



%Umfang
 $u^*_{rel} = 93$
%Regularität
 $g^*_{H,rel} = 57$
 $g^*_{C,rel} = 59$

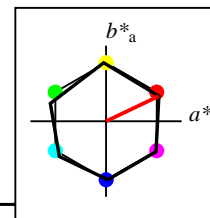
ORS18a; adaptierte CIELAB-Daten	$L^*=L^*_a$	a^*_a	b^*_a	$C^*_{ab,a}$	$h^*_{ab,a}$
O _{Ma}	47.94	65.39	50.52	82.63	38
Y _{Ma}	90.37	-10.26	91.75	92.32	96
L _{Ma}	50.9	-62.83	34.96	71.91	151
C _{Ma}	58.62	-30.34	-45.01	54.3	236
V _{Ma}	25.72	31.1	-44.4	54.22	305
M _{Ma}	48.13	75.28	-8.36	75.74	354
N _{Ma}	18.01	0.0	0.0	0.0	0
W _{Ma}	95.41	0.0	0.0	0.0	0
R _{CIE}	39.92	58.66	26.98	64.57	25
J _{CIE}	81.26	-2.16	67.76	67.79	92
G _{CIE}	52.23	-42.25	11.76	43.87	164
B _{CIE}	30.57	1.15	-46.84	46.86	271



%Umfang
 $u^*_{rel} = 100$
%Regularität
 $g^*_{H,rel} = 78$
 $g^*_{C,rel} = 100$

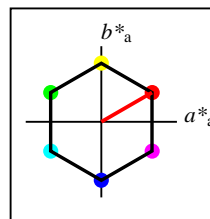
NRS18a; adaptierte CIELAB-Daten	$L^*=L^*_a$	a^*_a	b^*_a	$C^*_{ab,a}$	$h^*_{ab,a}$
O _{Ma}	56.71	69.87	33.29	77.4	25
Y _{Ma}	56.71	-3.1	77.34	77.4	92
L _{Ma}	56.71	-73.68	23.63	77.39	162
C _{Ma}	56.71	-61.81	-46.54	77.39	217
V _{Ma}	56.71	2.35	-77.34	77.39	272
M _{Ma}	56.71	66.07	-40.3	77.4	329
N _{Ma}	18.01	0.0	0.0	0.0	0
W _{Ma}	95.41	0.0	0.0	0.0	0
R _{CIE}	39.92	58.74	27.99	65.07	25
J _{CIE}	81.26	-2.88	71.56	71.62	92
G _{CIE}	52.23	-42.41	13.6	44.55	162
B _{CIE}	30.57	1.41	-46.46	46.49	272

Workflow-Wahlen
für Farbmuster:
1. keine Farbänderung
2. Buntton-Änderung
3. Buntheits-Änderung



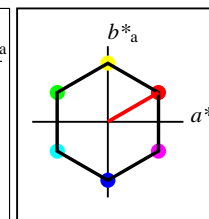
%Umfang
 $u^*_{rel} = 100$
%Regularität
 $g^*_{H,rel} = 78$
 $g^*_{C,rel} = 100$

NRS18a; adaptierte CIELAB-Daten	$L^*=L^*_a$	a^*_a	b^*_a	$C^*_{ab,a}$	$h^*_{ab,a}$
O _{Ma}	56.71	69.87	33.29	77.4	25
Y _{Ma}	56.71	-3.1	77.34	77.4	92
L _{Ma}	56.71	-73.68	23.63	77.39	162
C _{Ma}	56.71	-61.81	-46.54	77.39	217
V _{Ma}	56.71	2.35	-77.34	77.39	272
M _{Ma}	56.71	66.07	-40.3	77.4	329
N _{Ma}	18.01	0.0	0.0	0.0	0
W _{Ma}	95.41	0.0	0.0	0.0	0
R _{CIE}	39.92	58.74	27.99	65.07	25
J _{CIE}	81.26	-2.88	71.56	71.62	92
G _{CIE}	52.23	-42.41	13.6	44.55	162
B _{CIE}	30.57	1.41	-46.46	46.49	272



%Umfang
 $u^*_{rel} = 100$
%Regularität
 $g^*_{H,rel} = 100$
 $g^*_{C,rel} = 100$

SRS18a; adaptierte CIELAB-Daten	$L^*=L^*_a$	a^*_a	b^*_a	$C^*_{ab,a}$	$h^*_{ab,a}$
O _{Ma}	56.71	67.03	38.7	77.4	30
Y _{Ma}	56.71	0.0	77.4	77.4	90
L _{Ma}	56.71	-67.02	38.7	77.4	150
C _{Ma}	56.71	-67.02	-38.69	77.4	210
V _{Ma}	56.71	0.0	-77.39	77.4	270
M _{Ma}	56.71	67.03	-38.69	77.4	330
N _{Ma}	18.01	0.0	0.0	0.0	0
W _{Ma}	95.41	0.0	0.0	0.0	0
R _{CIE}	39.92	58.74	27.99	65.07	25
J _{CIE}	81.26	-2.88	71.56	71.62	92
G _{CIE}	52.23	-42.41	13.6	44.55	162
B _{CIE}	30.57	1.41	-46.46	46.49	272



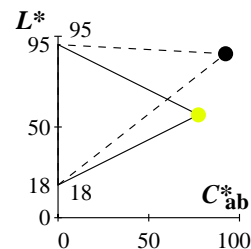
%Umfang
 $u^*_{rel} = 100$
%Regularität
 $g^*_{H,rel} = 100$
 $g^*_{C,rel} = 100$

SRS18	$L^*=L^*_a$	a^*_a	b^*_a	$C^*_{ab,a}$	$h^*_{ab,a}$
O _M	56.71	67.03	38.7	77.4	30
Y _M	56.71	0.0	77.4	77.4	90
L _M	56.71	-67.02	38.7	77.4	150
C _M	56.71	-67.02	-38.69	77.4	210
V _M	56.71	0.0	-77.39	77.4	270
M _M	56.71	67.03	-38.69	77.4	330
N _M	18.01	0.0	0.0	0.0	0
W _M	95.41	0.0	0.0	0.0	0
R _{CIE}	39.92	58.74	27.99	65.07	25
J _{CIE}	81.26	-2.88	71.56	71.62	92
G _{CIE}	52.23	-42.41	13.6	44.55	162
B _{CIE}	30.57	1.41	-46.46	46.49	272

Relatives CIELAB-Buntheitsdiagramm: ($a_R^* = lab^*a$, $b_R^* = lab^*b$) und absolutes CIELAB Bunttondreiecks-Diagramm: (L^* , C_{ab}^*) für Ein- (---) und Ausgabe (----) ORS18: Eingabe (i) Farbmatrik-Sytem; Sechs Bunttonwinkel des Farbgerätes: (37.7, 96.4, 150.9, 236.0, 305.0, 353.7); Vier Bunttonwinkel der Elementarfarben: (24.7, 91.8, 164.5, 271.4) SRS18: Ausgabe (o) Farbmatrik-Sytem; Sechs Bunttonwinkel des Farbgerätes: (30.0, 90.0, 150.0, 210.0, 270.0, 330.0); Vier Bunttonwinkel der Elementarfarben: (25.5, 92.3, 162.2, 271.7)

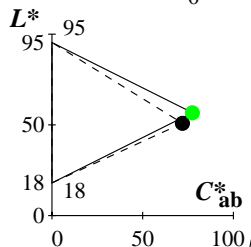
Y Gelb

$olv3Mi = 1.0 \ 1.0 \ 0.0$
 $olv3Mo = 0.894 \ 1.0 \ 0.0$
 $LCHMi = 90.4 \ 92.3 \ 96$
 $LCHo = 56.7 \ 77.4 \ 96$
 $tchMi = 0.5 \ 1.0 \ 0.268$
 $tchMo = 0.5 \ 1.0 \ 0.268$



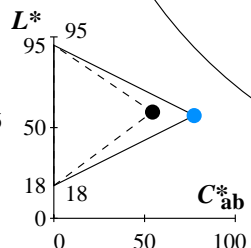
L Laubgrün

$olv3Mi = 0.0 \ 1.0 \ 0.0$
 $olv3Mo = 0.0 \ 1.0 \ 0.015$
 $LCHMi = 50.9 \ 71.9 \ 151$
 $LCHo = 56.7 \ 77.4 \ 151$
 $tchMi = 0.5 \ 1.0 \ 0.419$
 $tchMo = 0.5 \ 1.0 \ 0.419$



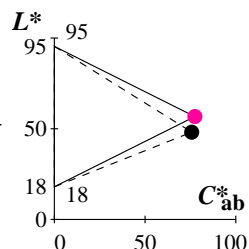
C Cyanblau

$olv3Mi = 0.0 \ 1.0 \ 1.0$
 $olv3Mo = 0.0 \ 0.566 \ 1.0$
 $LCHMi = 58.6 \ 54.3 \ 236$
 $LCHo = 56.7 \ 77.4 \ 236$
 $tchMi = 0.5 \ 1.0 \ 0.656$
 $tchMo = 0.5 \ 1.0 \ 0.656$



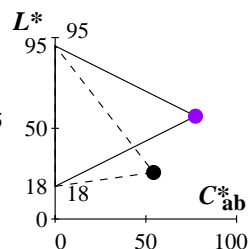
M Magentarot

$olv3Mi = 1.0 \ 0.0 \ 1.0$
 $olv3Mo = 1.0 \ 0.0 \ 0.606$
 $LCHMi = 48.1 \ 75.7 \ 354$
 $LCHo = 56.7 \ 77.4 \ 354$
 $tchMi = 0.5 \ 1.0 \ 0.982$
 $tchMo = 0.5 \ 1.0 \ 0.982$



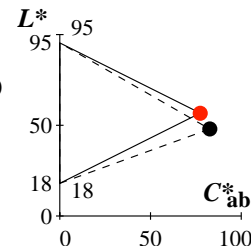
V Violettblau

$olv3Mi = 0.0 \ 0.0 \ 1.0$
 $olv3Mo = 0.583 \ 0.0 \ 1.0$
 $LCHMi = 25.7 \ 54.2 \ 305$
 $LCHo = 56.7 \ 77.4 \ 305$
 $tchMi = 0.5 \ 1.0 \ 0.847$
 $tchMo = 0.5 \ 1.0 \ 0.847$



O Orangerot

$olv3Mi = 1.0 \ 0.0 \ 0.0$
 $olv3Mo = 1.0 \ 0.128 \ 0.0$
 $LCHMi = 47.9 \ 82.6 \ 38$
 $LCHo = 56.7 \ 77.4 \ 38$
 $tchMi = 0.5 \ 1.0 \ 0.105$
 $tchMo = 0.5 \ 1.0 \ 0.105$



Keine Bunttonänderung der Ausgabefarbe M

Keine relative Buntheitsänderung der Ausgabefarbe M

Relatives CIELAB-Buntheitsdiagramm: ($a_R^* = lab^*a$, $b_R^* = lab^*b$) und absolutes CIELAB Bunttondreiecks-Diagramm: (L^* , C_{ab}^*) für Ein- (---) und Ausgabe (----) ORS18: Eingabe (i) Farbmatrik-Sytem; Sechs Bunttonwinkel des Farbgerätes: (37.7, 96.4, 150.9, 236.0, 305.0, 353.7); Vier Bunttonwinkel der Elementarfarben: (24.7, 91.8, 164.5, 271.4)
SRS18: Ausgabe (o) Farbmatrik-Sytem; Sechs Bunttonwinkel des Farbgerätes: (30.0, 90.0, 150.0, 210.0, 270.0, 330.0); Vier Bunttonwinkel der Elementarfarben: (25.5, 92.3, 162.2, 271.7)

Y Gelb

olv3Mi = 1.0 1.0 0.0
olv3Mo = 0.727 1.0 0.0
LCHMi = 90.4 92.3 96
LCHo = 56.7 77.4 106
tchMi = 0.5 1.0 0.268
tchMo = 0.5 1.0 0.296

L Laubgrün

olv3Mi = 0.0 1.0 0.0
olv3Mo = 0.0 1.0 0.182
LCHMi = 50.9 71.9 151
LCHo = 56.7 77.4 161
tchMi = 0.5 1.0 0.419
tchMo = 0.5 1.0 0.447

C Cyanblau

olv3Mi = 0.0 1.0 1.0
olv3Mo = 0.0 0.4 1.0
LCHMi = 58.6 54.3 236
LCHo = 56.7 77.4 246
tchMi = 0.5 1.0 0.656
tchMo = 0.5 1.0 0.683

O Orangerot

olv3Mi = 1.0 0.0 0.0
olv3Mo = 1.0 0.295 0.0
LCHMi = 47.9 82.6 38
LCHo = 56.7 77.4 48
tchMi = 0.5 1.0 0.105
tchMo = 0.5 1.0 0.132

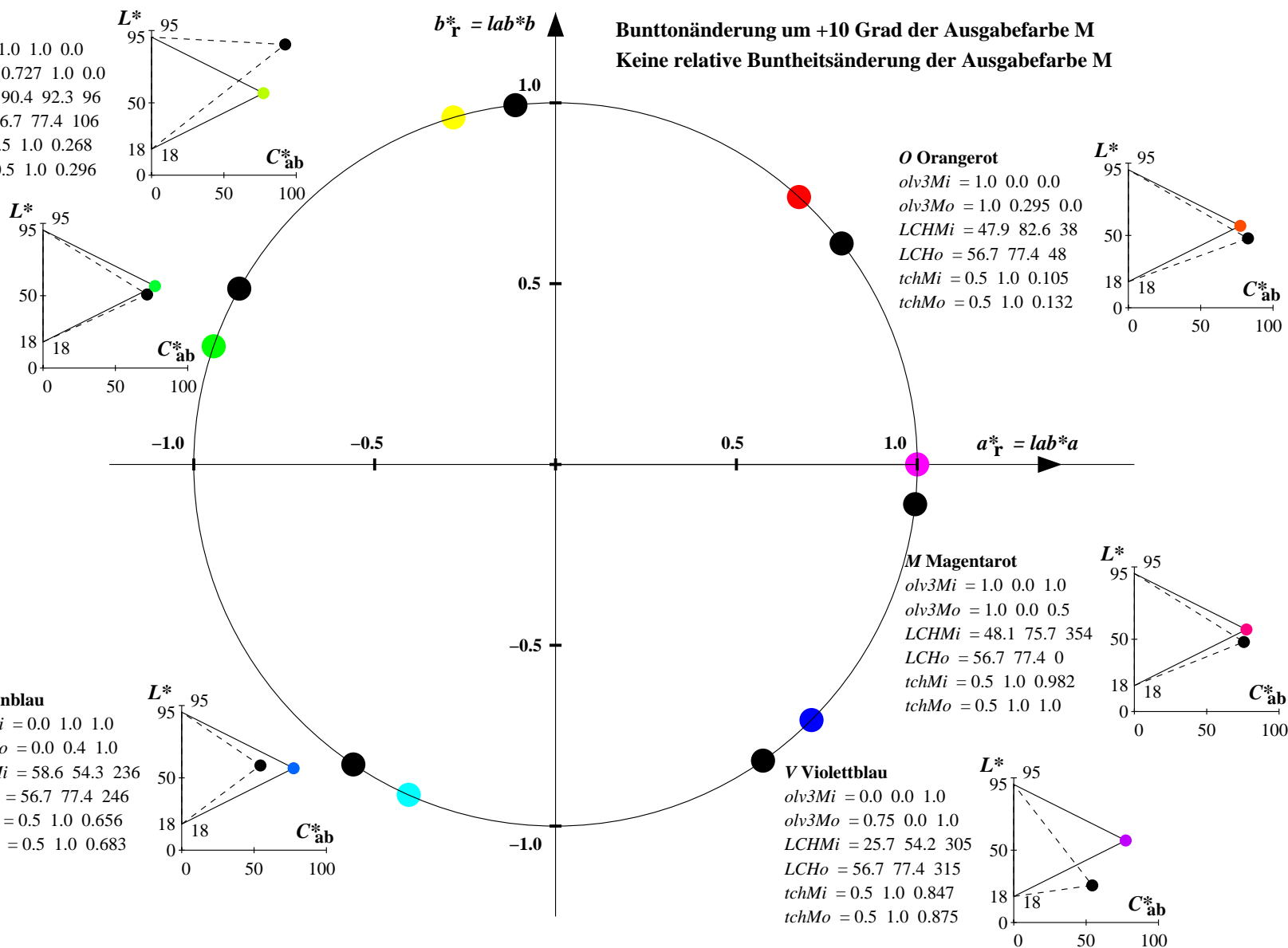
M Magentarot

olv3Mi = 1.0 0.0 1.0
olv3Mo = 1.0 0.0 0.5
LCHMi = 48.1 75.7 354
LCHo = 56.7 77.4 0
tchMi = 0.5 1.0 0.982
tchMo = 0.5 1.0 1.0

V Violettblau

olv3Mi = 0.0 0.0 1.0
olv3Mo = 0.75 0.0 1.0
LCHMi = 25.7 54.2 305
LCHo = 56.7 77.4 315
tchMi = 0.5 1.0 0.847
tchMo = 0.5 1.0 0.875

Bunttonänderung um +10 Grad der Ausgabefarbe M
Keine relative Buntheitsänderung der Ausgabefarbe M



Relatives CIELAB-Buntheitsdiagramm: ($a_R^* = lab^*a$, $b_R^* = lab^*b$) und absolutes CIELAB Bunttondreiecks-Diagramm: (L^* , C_{ab}^*) für Ein- (---) und Ausgabe (----) ORS18: Eingabe (i) Farbmatrik-Sytem; Sechs Bunttonwinkel des Farbgerätes: (37.7, 96.4, 150.9, 236.0, 305.0, 353.7); Vier Bunttonwinkel der Elementarfarben: (24.7, 91.8, 164.5, 271.4)
SRS18: Ausgabe (o) Farbmatrik-Sytem; Sechs Bunttonwinkel des Farbgerätes: (30.0, 90.0, 150.0, 210.0, 270.0, 330.0); Vier Bunttonwinkel der Elementarfarben: (25.5, 92.3, 162.2, 271.7)

Y Gelb

olv3Mi = 1.0 1.0 0.0
olv3Mo = 0.697 0.75 0.25
LCHMi = 90.4 92.3 96
LCHo = 52.2 38.7 96
tchMi = 0.5 1.0 0.268
tchMo = 0.5 0.5 0.268

L Laubgrün

olv3Mi = 0.0 1.0 0.0
olv3Mo = 0.25 0.75 0.258
LCHMi = 50.9 71.9 151
LCHo = 52.2 38.7 151
tchMi = 0.5 1.0 0.419
tchMo = 0.5 0.5 0.419

C Cyanblau

olv3Mi = 0.0 1.0 1.0
olv3Mo = 0.25 0.533 0.75
LCHMi = 58.6 54.3 236
LCHo = 52.2 38.7 236
tchMi = 0.5 1.0 0.656
tchMo = 0.5 0.5 0.656

O Orangerot

olv3Mi = 1.0 0.0 0.0
olv3Mo = 0.75 0.314 0.25
LCHMi = 47.9 82.6 38
LCHo = 52.2 38.7 38
tchMi = 0.5 1.0 0.105
tchMo = 0.5 0.5 0.105

M Magentarot

olv3Mi = 1.0 0.0 1.0
olv3Mo = 0.75 0.25 0.553
LCHMi = 48.1 75.7 354
LCHo = 52.2 38.7 354
tchMi = 0.5 1.0 0.982
tchMo = 0.5 0.5 0.982

V Violettblau

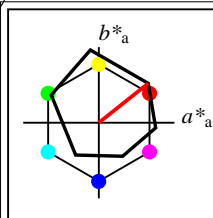
olv3Mi = 0.0 0.0 1.0
olv3Mo = 0.542 0.25 0.75
LCHMi = 25.7 54.2 305
LCHo = 52.2 38.7 305
tchMi = 0.5 1.0 0.847
tchMo = 0.5 0.5 0.847

Keine Bunttonänderung der Ausgabefarbe M

Änderung auf halbe relative Buntheit der Ausgabefarbe M

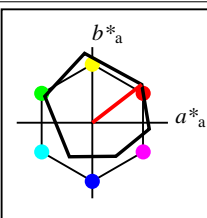
Siehe ähnliche Dateien: <http://www.ps.bam.de/YG60/>
Technische Information: <http://www.ps.bam.de> Version 2.1, io=1,1, CIELAB

BAM-Registrierung: 20061101-YG60/10L/L60G00FP.PS/.PDF BAM-Material: Code=rh4ta
Anwendung für Beurteilung und Messung von Drucker- oder Monitorsystemen
/YG60/ Form: 28/8, Serie: 1/1, Seite: 28 Seite 28/32



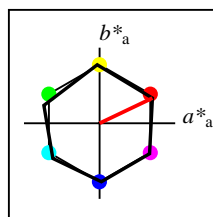
%Umfang
 $u^*_{rel} = 94$
%Regularität
 $g^*_{H,rel} = 58$
 $g^*_{C,rel} = 54$

ORS18	$L^*=L^*_a$	a^*_a	b^*_a	$C^*_{ab,a}$	$h^*_{ab,a}$
O _M	47.94	65.31	52.07	83.53	39
Y _M	90.37	-11.15	96.17	96.82	97
L _M	50.9	-62.96	36.71	72.89	150
C _M	58.62	-30.62	-42.74	52.59	234
V _M	25.72	31.45	-44.35	54.38	305
M _M	48.13	75.2	-6.79	75.51	355
N _M	18.01	0.5	-0.46	0.69	317
W _M	95.41	-0.98	4.76	4.86	102
R _{CIE}	39.92	58.74	27.99	65.07	25
J _{CIE}	81.26	-2.88	71.56	71.62	92
G _{CIE}	52.23	-42.41	13.6	44.55	162
B _{CIE}	30.57	1.41	-46.46	46.49	272



%Umfang
 $u^*_{rel} = 93$
%Regularität
 $g^*_{H,rel} = 57$
 $g^*_{C,rel} = 59$

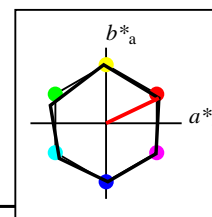
ORS18a; adaptierte CIELAB-Daten	$L^*=L^*_a$	a^*_a	b^*_a	$C^*_{ab,a}$	$h^*_{ab,a}$
O _{Ma}	47.94	65.39	50.52	82.63	38
Y _{Ma}	90.37	-10.26	91.75	92.32	96
L _{Ma}	50.9	-62.83	34.96	71.91	151
C _{Ma}	58.62	-30.34	-45.01	54.3	236
V _{Ma}	25.72	31.1	-44.4	54.22	305
M _{Ma}	48.13	75.28	-8.36	75.74	354
N _{Ma}	18.01	0.0	0.0	0.0	0
W _{Ma}	95.41	0.0	0.0	0.0	0
R _{CIE}	39.92	58.66	26.98	64.57	25
J _{CIE}	81.26	-2.16	67.76	67.79	92
G _{CIE}	52.23	-42.25	11.76	43.87	164
B _{CIE}	30.57	1.15	-46.84	46.86	271



%Umfang
 $u^*_{rel} = 100$
%Regularität
 $g^*_{H,rel} = 78$
 $g^*_{C,rel} = 100$

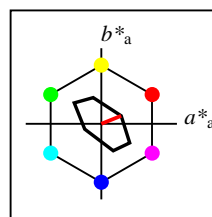
NRS18a; adaptierte CIELAB-Daten	$L^*=L^*_a$	a^*_a	b^*_a	$C^*_{ab,a}$	$h^*_{ab,a}$
O _{Ma}	56.71	69.87	33.29	77.4	25
Y _{Ma}	56.71	-3.1	77.34	77.4	92
L _{Ma}	56.71	-73.68	23.63	77.39	162
C _{Ma}	56.71	-61.81	-46.54	77.39	217
V _{Ma}	56.71	2.35	-77.34	77.39	272
M _{Ma}	56.71	66.07	-40.3	77.4	329
N _{Ma}	18.01	0.0	0.0	0.0	0
W _{Ma}	95.41	0.0	0.0	0.0	0
R _{CIE}	39.92	58.74	27.99	65.07	25
J _{CIE}	81.26	-2.88	71.56	71.62	92
G _{CIE}	52.23	-42.41	13.6	44.55	162
B _{CIE}	30.57	1.41	-46.46	46.49	272

Workflow-Wahlen
für Farbmuster:
1. keine Farbänderung
2. Buntton-Änderung
3. Buntheits-Änderung



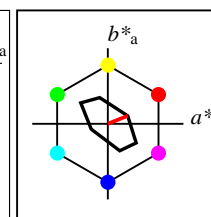
%Umfang
 $u^*_{rel} = 100$
%Regularität
 $g^*_{H,rel} = 78$
 $g^*_{C,rel} = 100$

NRS18a; adaptierte CIELAB-Daten	$L^*=L^*_a$	a^*_a	b^*_a	$C^*_{ab,a}$	$h^*_{ab,a}$
O _{Ma}	56.71	69.87	33.29	77.4	25
Y _{Ma}	56.71	-3.1	77.34	77.4	92
L _{Ma}	56.71	-73.68	23.63	77.39	162
C _{Ma}	56.71	-61.81	-46.54	77.39	217
V _{Ma}	56.71	2.35	-77.34	77.39	272
M _{Ma}	56.71	66.07	-40.3	77.4	329
N _{Ma}	18.01	0.0	0.0	0.0	0
W _{Ma}	95.41	0.0	0.0	0.0	0
R _{CIE}	39.92	58.74	27.99	65.07	25
J _{CIE}	81.26	-2.88	71.56	71.62	92
G _{CIE}	52.23	-42.41	13.6	44.55	162
B _{CIE}	30.57	1.41	-46.46	46.49	272



%Umfang
 $u^*_{rel} = 16$
%Regularität
 $g^*_{H,rel} = 34$
 $g^*_{C,rel} = 51$

TLS70a; adaptierte CIELAB-Daten	$L^*=L^*_a$	a^*_a	b^*_a	$C^*_{ab,a}$	$h^*_{ab,a}$
O _{Ma}	76.43	26.27	10.57	28.32	22
Y _{Ma}	93.93	-10.76	34.63	36.27	107
L _{Ma}	89.32	-35.8	27.64	45.24	142
C _{Ma}	90.93	-21.95	-7.07	23.07	198
V _{Ma}	72.1	15.76	-35.63	38.97	294
M _{Ma}	78.5	37.52	-25.23	45.22	326
N _{Ma}	69.7	0.0	0.0	0.0	0
W _{Ma}	95.41	0.0	0.0	0.0	0
R _{CIE}	39.92	58.74	27.99	65.07	25
J _{CIE}	81.26	-2.88	71.56	71.62	92
G _{CIE}	52.23	-42.41	13.6	44.55	162
B _{CIE}	30.57	1.41	-46.46	46.49	272



%Umfang
 $u^*_{rel} = 16$
%Regularität
 $g^*_{H,rel} = 34$
 $g^*_{C,rel} = 51$

TLS70	$L^*=L^*_a$	a^*_a	b^*_a	$C^*_{ab,a}$	$h^*_{ab,a}$
O _M	76.43	26.27	10.57	28.32	22
Y _M	93.93	-10.76	34.63	36.27	107
L _M	89.32	-35.8	27.64	45.24	142
C _M	90.93	-21.95	-7.07	23.07	198
V _M	72.1	15.76	-35.63	38.97	294
M _M	78.5	37.52	-25.23	45.22	326
N _M	69.7	0.0	0.0	0.0	0
W _M	95.41	0.0	0.0	0.0	0
R _{CIE}	39.92	58.74	27.99	65.07	25
J _{CIE}	81.26	-2.88	71.56	71.62	92
G _{CIE}	52.23	-42.41	13.6	44.55	162
B _{CIE}	30.57	1.41	-46.46	46.49	272

Relatives CIELAB-Buntheitsdiagramm: ($a_R^* = lab^*a$, $b_R^* = lab^*b$) und absolutes CIELAB Bunttondreiecks-Diagramm: (L^* , C_{ab}^*) für Ein- (---) und Ausgabe (----) ORS18: Eingabe (i) Farbmatrik-Sytem; Sechs Bunttonwinkel des Farbgerätes: (37.7, 96.4, 150.9, 236.0, 305.0, 353.7); Vier Bunttonwinkel der Elementarfarben: (24.7, 91.8, 164.5, 271.4)
TLS70: Ausgabe (o) Farbmatrik-Sytem; Sechs Bunttonwinkel des Farbgerätes: (21.9, 107.3, 142.3, 197.9, 293.9, 326.1); Vier Bunttonwinkel der Elementarfarben: (25.5, 92.3, 162.2, 271.7)

Y Gelb

$olv3Mi = 1.0 \ 1.0 \ 0.0$
 $olv3Mo = 1.0 \ 0.872 \ 0.0$
 $LCHMi = 90.4 \ 92.3 \ 96$
 $LCHo = 91.7 \ 35.3 \ 96$
 $tchMi = 0.5 \ 1.0 \ 0.268$
 $tchMo = 0.5 \ 1.0 \ 0.268$

L Laubgrün

$olv3Mi = 0.0 \ 1.0 \ 0.0$
 $olv3Mo = 0.0 \ 1.0 \ 0.154$
 $LCHMi = 50.9 \ 71.9 \ 151$
 $LCHo = 89.6 \ 41.8 \ 151$
 $tchMi = 0.5 \ 1.0 \ 0.419$
 $tchMo = 0.5 \ 1.0 \ 0.419$

C Cyanblau

$olv3Mi = 0.0 \ 1.0 \ 1.0$
 $olv3Mo = 0.0 \ 0.603 \ 1.0$
 $LCHMi = 58.6 \ 54.3 \ 236$
 $LCHo = 83.4 \ 29.4 \ 236$
 $tchMi = 0.5 \ 1.0 \ 0.656$
 $tchMo = 0.5 \ 1.0 \ 0.656$

V Violettblau

$olv3Mi = 0.0 \ 0.0 \ 1.0$
 $olv3Mo = 0.346 \ 0.0 \ 1.0$
 $LCHMi = 25.7 \ 54.2 \ 305$
 $LCHo = 74.3 \ 41.1 \ 305$
 $tchMi = 0.5 \ 1.0 \ 0.847$
 $tchMo = 0.5 \ 1.0 \ 0.847$

M Magentarot

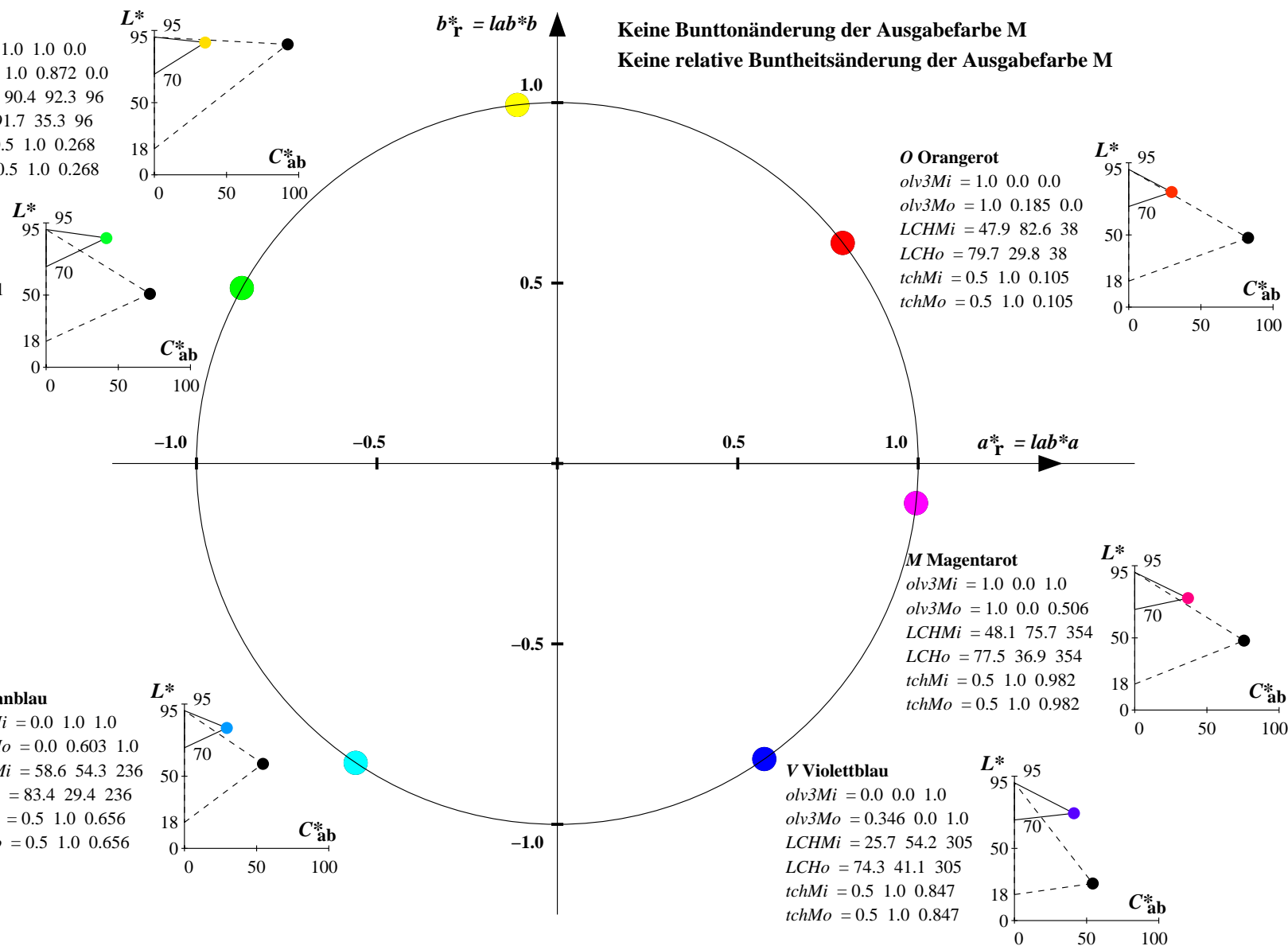
$olv3Mi = 1.0 \ 0.0 \ 1.0$
 $olv3Mo = 1.0 \ 0.0 \ 0.506$
 $LCHMi = 48.1 \ 75.7 \ 354$
 $LCHo = 77.5 \ 36.9 \ 354$
 $tchMi = 0.5 \ 1.0 \ 0.982$
 $tchMo = 0.5 \ 1.0 \ 0.982$

O Orangerot

$olv3Mi = 1.0 \ 0.0 \ 0.0$
 $olv3Mo = 1.0 \ 0.185 \ 0.0$
 $LCHMi = 47.9 \ 82.6 \ 38$
 $LCHo = 79.7 \ 29.8 \ 38$
 $tchMi = 0.5 \ 1.0 \ 0.105$
 $tchMo = 0.5 \ 1.0 \ 0.105$

Keine Bunttonänderung der Ausgabefarbe M

Keine relative Buntheitsänderung der Ausgabefarbe M



Relatives CIELAB-Buntheitsdiagramm: ($a^*_r = lab^*a$, $b^*_r = lab^*b$) und absolutes CIELAB Bunttondreiecks-Diagramm: (L^* , C^*_{ab}) für Ein- (---) und Ausgabe (----) ORS18: Eingabe (i) Farbmatrik-Sytem; Sechs Bunttonwinkel des Farbgerätes: (37.7, 96.4, 150.9, 236.0, 305.0, 353.7); Vier Bunttonwinkel der Elementarfarben: (24.7, 91.8, 164.5, 271.4)
TLS70: Ausgabe (o) Farbmatrik-Sytem; Sechs Bunttonwinkel des Farbgerätes: (21.9, 107.3, 142.3, 197.9, 293.9, 326.1); Vier Bunttonwinkel der Elementarfarben: (25.5, 92.3, 162.2, 271.7)

Y Gelb

$olv3Mi = 1.0 \ 1.0 \ 0.0$
 $olv3Mo = 1.0 \ 0.99 \ 0.0$
 $LCHMi = 90.4 \ 92.3 \ 96$
 $LCHo = 93.7 \ 36.2 \ 106$
 $tchMi = 0.5 \ 1.0 \ 0.268$
 $tchMo = 0.5 \ 1.0 \ 0.296$

L Laubgrün

$olv3Mi = 0.0 \ 1.0 \ 0.0$
 $olv3Mo = 0.0 \ 1.0 \ 0.335$
 $LCHMi = 50.9 \ 71.9 \ 151$
 $LCHo = 89.9 \ 37.8 \ 161$
 $tchMi = 0.5 \ 1.0 \ 0.419$
 $tchMo = 0.5 \ 1.0 \ 0.447$

C Cyanblau

$olv3Mi = 0.0 \ 1.0 \ 1.0$
 $olv3Mo = 0.0 \ 0.498 \ 1.0$
 $LCHMi = 58.6 \ 54.3 \ 236$
 $LCHo = 81.5 \ 31.0 \ 246$
 $tchMi = 0.5 \ 1.0 \ 0.656$
 $tchMo = 0.5 \ 1.0 \ 0.683$

O Orangerot

$olv3Mi = 1.0 \ 0.0 \ 0.0$
 $olv3Mo = 1.0 \ 0.302 \ 0.0$
 $LCHMi = 47.9 \ 82.6 \ 38$
 $LCHo = 81.7 \ 30.7 \ 48$
 $tchMi = 0.5 \ 1.0 \ 0.105$
 $tchMo = 0.5 \ 1.0 \ 0.132$

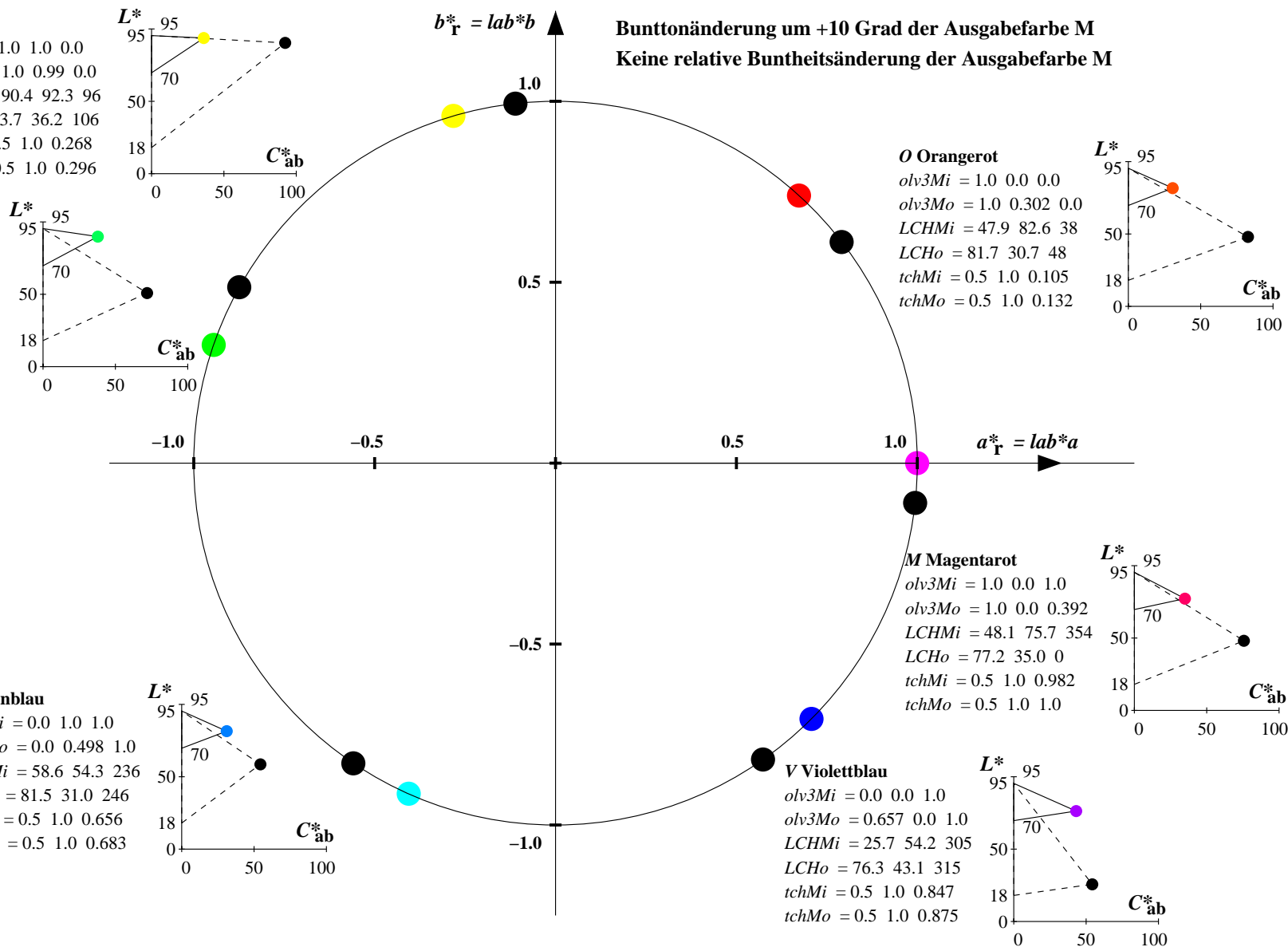
M Magentarot

$olv3Mi = 1.0 \ 0.0 \ 1.0$
 $olv3Mo = 1.0 \ 0.0 \ 0.392$
 $LCHMi = 48.1 \ 75.7 \ 354$
 $LCHo = 77.2 \ 35.0 \ 0$
 $tchMi = 0.5 \ 1.0 \ 0.982$
 $tchMo = 0.5 \ 1.0 \ 1.0$

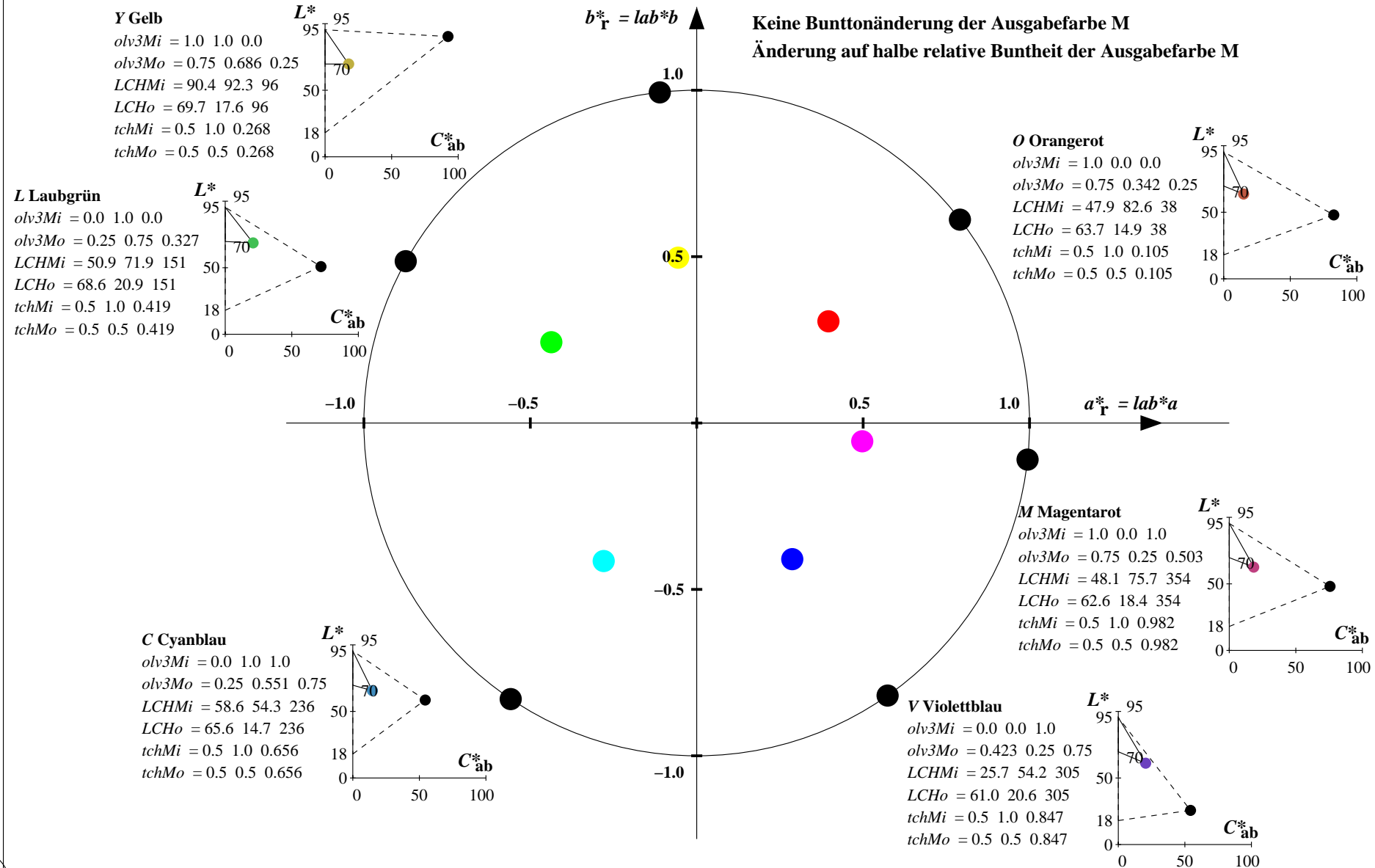
V Violettblau

$olv3Mi = 0.0 \ 0.0 \ 1.0$
 $olv3Mo = 0.657 \ 0.0 \ 1.0$
 $LCHMi = 25.7 \ 54.2 \ 305$
 $LCHo = 76.3 \ 43.1 \ 315$
 $tchMi = 0.5 \ 1.0 \ 0.847$
 $tchMo = 0.5 \ 1.0 \ 0.875$

Bunttonänderung um +10 Grad der Ausgabefarbe M
Keine relative Buntheitsänderung der Ausgabefarbe M



Relatives CIELAB-Buntheitsdiagramm: ($a_R^* = lab^*a$, $b_R^* = lab^*b$) und absolutes CIELAB Bunttondreiecks-Diagramm: (L^* , C_{ab}^*) für Ein- (---) und Ausgabe (----) ORS18: Eingabe (i) Farbmatrik-Sytem; Sechs Bunttonwinkel des Farbgerätes: (37.7, 96.4, 150.9, 236.0, 305.0, 353.7); Vier Bunttonwinkel der Elementarfarben: (24.7, 91.8, 164.5, 271.4)
TLS70: Ausgabe (o) Farbmatrik-Sytem; Sechs Bunttonwinkel des Farbgerätes: (21.9, 107.3, 142.3, 197.9, 293.9, 326.1); Vier Bunttonwinkel der Elementarfarben: (25.5, 92.3, 162.2, 271.7)



YG600-7, Farb-Management-Workflow: Geräte-Farbeingabedaten des Farbenraums ORS18 -> Geräte-Farbausgabedaten des Farbenraums TLS70, Seite 32/32

BAM-Prüfvorlage YG60; Farbmatrikworkflow ORS18->TLS70 Eingabe: olv* setrgbcolor
D65: 6 Grundfarben; Geräte- und Musterdaten; Seite 32/32 Ausgabe: olv*' (TRI9) setrgbcolor